

# อภินันทนาการ

## รายงานการวิจัยฉบับสมบูรณ์



การศึกษาการแตกตัวของ MEH-PPV Aggregates ในสารละลายน้ำด้วย  
วิธีสเปกโตรสโคปี: ผลของตัวทำละลาย, ความเข้มข้น และ อุณหภูมิ

Spectroscopic Study of the Dissociation of MEH-PPV Aggregates in  
Solutions: Effects of Solvent, Concentration and Temperature

โดย

สำนักหอสมุด มหาวิทยาลัยแม่ฟ้า  
วันลงทะเบียน..... ๘ JUL 2011  
เลขทะเบียน..... ๑๗๖๒๙๙๖๔  
เพจเรียกหนังสือ.... ๑ ๘๒

เรือโทพญ. ดร.นิภาภัทร เจริญไทย

ภาควิชานเคมี คณะวิทยาศาสตร์

มหาวิทยาลัยแม่ฟ้า

ทุนวิจัยรายได้คณะวิทยาศาสตร์ งบประมาณประจำปี 2550

## คำนำ

รายงานโครงการวิจัยฉบับนี้ เป็นการศึกษาการแตกตัวของสาร poly[2-methoxy-5-(2'ethylhexoxy) phenylenevinylene] (MEH-PPV) Aggregates ในสารละลายน้ำด้วยวิธีสเปกโตรสโคปี โดยใช้เทคนิค ยูวี-วีสีเบิล และฟลูออร์เซนต์สเปกโตรสโคปี โดยได้ทำการศึกษาปัจจัยที่มีผลต่อพฤติกรรมการแตกตัวคือ ผลของตัวทำละลาย ความเข้มข้นของโพลิเมอร์ และอุณหภูมิ ซึ่งผลการศึกษาที่ได้จะสามารถใช้เป็นความรู้พื้นฐานเพื่อนำไปสู่ความสามารถในการควบคุมสมบัติทางแสงได้

ผู้เรียนเรียงได้พยาบาลเรียนเรียงโครงการฉบับนี้ขึ้นด้วยความตั้งใจเป็นอย่างมาก โดยได้พยายามใช้ภาษาที่อ่านแล้วสามารถเข้าใจได้ง่าย หากมีข้อผิดพลาดประการใด ผู้เรียนเรียงก็ขออภัยไว้ ณ ที่นี้ด้วย และยินดีที่จะได้รับการแนะนำจากผู้อ่านเพื่อนำมาปรับปรุงการเขียนรายงานโครงการวิจัยให้ดีขึ้นในโอกาสต่อไป

นิกกัท จริญไทย

1 พฤษภาคม 2550

## กิตติกรรมประกาศ

โครงการนวัจัยเรื่อง การศึกษาการแตกตัวของสาร poly[2-methoxy-5-(2'-ethylhexoxy) phenylenevinylene] (MEH-PPV) Aggregates ในสารละลายน้ำที่มีสเปกโตรสโคปี: พลางตัวทำละลาย, ความเข้มข้น และ อุณหภูมิ นี้ ได้รับการสนับสนุนทุนวิจัยจากบประมาณรายได้ คณะวิทยาศาสตร์ มหาวิทยาลัยนเรศวร ปีงบประมาณ 2550 นักงานนี้ยังได้รับการสนับสนุนการให้ใช้เครื่องมืออุปกรณ์เบื้องต้น ฟลูออเรสเซนต์ และนิวเคลียร์แมกнетิกเรโซแนนซ์สเปกโตรสโคปี จากศูนย์เครื่องมือคลัง และภาควิชาเคมี คณะวิทยาศาสตร์ มหาวิทยาลัยนเรศวร เป็นอย่างดี ทั้งๆ ขอขอบคุณผู้ร่วมวิจัย ดร.รักษา ไตรผล ที่ได้ให้คำแนะนำ ปรึกษา และเสนอแนะความรู้ต่างๆ แก่ โครงการนวัจัย ทำให้โครงการนวัจัยครั้งนี้สำเร็จลุล่วงไปได้ด้วยดี

นิภากัทร เจริญ ไทย  
พฤษจิกายน 2550



## บทคัดย่อ

งานวิจัยนี้ศึกษาพฤติกรรมการแตกตัวและการเข้าจับกันของ poly-2-methoxy-5-(2'-ethylhexyloxy)-1,4-phenylenevinylene(MEH-PPV) ในตัวทำละลายชนิดต่างๆ เช่น แอลกอฮอล์ และตัวทำละลายที่อุณหภูมิต่างๆ พบว่า MEH-PPV ในตัวทำละลายแต่ละชนิดมีพฤติกรรมการแตกตัว และการเข้าจับตัวกันที่แตกต่างกัน ซึ่งพฤติกรรมเหล่านี้เปลี่ยนแปลงไปในลักษณะที่สอดคล้อง กับการเปลี่ยนแปลงโครงสร้างและความเป็นขั้วของตัวทำละลายที่ใช้ การเพิ่มอุณหภูมิมีผลทำให้เกิดการแยกออกจากกันของ MEH-PPV aggregates ซึ่งสังเกตได้จากการลดลงของความเข้มข้นของพิคการดูดกลืนแสงและการคายแสงที่ตำแหน่ง 550 nm และ 590 nm ตามลำดับ การใช้ตัวทำละลายแอลกอฮอล์ที่มีความเป็นขั้วสูง เช่น บิวทานอล จะส่งผลทำให้สายโซ่ไมเลกุลเดี่ยวเกิดการหดตัวอย่างมาก ซึ่งการหดตัวนี้จะขัดขวางการเข้าซ้อนทับกันของสายโซ่ย่างเป็นระบบ จนถึงการเข้าซ้อนทับกันเกิดเป็น aggregates ได้ง่ายขึ้นคาดว่าเกิดจากการคลายตัวของสายโซ่ไมเลกุลเดี่ยวที่มากขึ้นนั่นเอง การเปลี่ยนแปลงโครงสร้างของตัวทำละลายที่มีผลต่อการเกิด aggregates เช่นกัน โดยที่ในตัวทำละลายผสมระหว่าง โทลูอินกับไซโคเลเซกเซนสามารถเกิด aggregates ได้ค่อนข้างจำกัดกว่าเมื่อเทียบกับระบบของตัวทำละลายผสมระหว่าง ไพริดีนกับไซโคเลเซกเซน คาดว่ามันจะเป็นผลมาจากการลักษณะรูปร่างของสายโซ่ไมเลกุลเดี่ยวที่แตกต่างกัน เช่นเดียวกัน ส่วนการเปลี่ยนแปลงความเข้มข้นของสารละลายไม่มีผลต่อพฤติกรรมการแตกตัว และการเข้าจับกันของ aggregates มากนัก

### Abstracts

This research investigates the dissociation and aggregation behaviors of poly-2-methoxy-5-(2'-ethylhexyloxy)-1,4-phenylenevinylene (MEH-PPV) in various solvents such as alcohols and mixed solvents. The measurements of UV/vis absorption and emission spectra of the solutions as a function of temperature found that the dissociation and aggregation behaviors of MEH-PPV depend on solvents. These behaviors vary according to the structures and polarity of solvents. Increasing the temperature causes the dissociation of MEH-PPV aggregates, which is indicated by the decrease of absorbance and emission intensity at 550 nm and 590 nm, respectively. Using high polar alcohol solvents, butanol, causes the collapse of isolated chains. The aggregation is difficult to take place because the collapse coil prohibits the stacking of MEH-PPV backbone. When polarity of alcohol solvents is systematically reduced, the aggregates appear to occur easier. This is probably due to the extension of isolated chains. The structures of solvent also affect the aggregation. In system of mixed toluene and cyclohexane, the aggregation is found to occur easier compared to the system of mixed pyridine and cyclohexane. It is also expected to be due to the different conformation of isolated chain. The variation of concentration slightly affects the dissociation and aggregation behaviors.

## สารบัญ

**เรื่อง**

**หน้า**

**คำนำ**

ก

**กิตติกรรมประกาศ**

ข

**บทคัดย่อภาษาไทย**

ค

**บทคัดย่อภาษาอังกฤษ**

ง

**สารบัญรูป**

ฉ

**สารบัญตาราง**

ช

**คำอธิบายด้วยอ**

ฉ

**บทที่ 1 บทนำ**

1

**บทที่ 2 การดำเนินการวิจัย**

18

**บทที่ 3 ผลการทดลองและวิจารณ์ผลการทดลอง**

19

**บทที่ 4 สรุปผลการทดลอง**

36

**บรรณานุกรม**

37



## สารบัญรูป

รูปที่	หน้า
1.1 แสดงการเกิดค่อนขุนของ $\pi$ ออร์บิทอลในสายโซ่โพลิเมอร์	1
1.2 แสดงโครงสร้างของค่อนขุนเกตโพลิเมอร์	2
1.3 (a) แสดงโครงสร้างของ OLED (b) แสดงตัวอย่างของ OLED	3
1.4 แสดงส่วนประกอบของ OLED	4
1.5 แสดงลักษณะโครงสร้างของ MEH-PPV แบบต่างๆ	5
1.6 ตัวอย่างของ uv-vis spectra และ emission spectra ของสารละลายนะ MEH-PPV ในตัวทำละลายพสมะห่วงโทกอินกับไชโคลเซกเซน	7
1.7 แผนภาพแสดงการเกิด aggregation ของค่อนขุนเกตโพลิเมอร์ในสารละลายนะ	8
1.8 แสดงระดับพลังงานซึ่งสอดคล้องกับการเลื่อนของความยาวคลื่น	9
1.9 แสดงการจัดเรียงระดับพลังงานที่ทำให้อิเล็กตรอนเกิดการเปลี่ยนระดับพลังงาน และการเปลี่ยนแปลงระดับพลังงานของอิเล็กตรอนใน formaldehyde	10
1.10 แผนภาพแสดงระดับพลังงานการสันของอิเล็กตรอนและการหมุนของโมเลกุล	11
1.11 สเปกトラการดูดกลืนแสงของ dimethylpolyenes	12
1.12 การเปรียบเทียบ $\pi \rightarrow \pi^*$ energy gap ในการเพิ่มความยาวของการเกิดค่อนขุน	12
1.13 แสดงการฉายแสงผ่านสารตัวอย่าง	13
1.14 แผนผัง Perrin-Jablonski	15
1.15 แสดงการฉายแสงผ่านสารตัวอย่างของเทคนิคฟลูอเรสเซนต์สเปกโตรสโคปี	17
3.1 สเปกトラการดูดกลืนแสงและสเปกトラการคายแสง ของ MEH-PPV	20
ในตัวทำละลายออกทานอล	
3.2 สเปกトラการดูดกลืนแสงและสเปกトラการคายแสง ของ MEH-PPV	22
ในตัวทำละลายเยกซานอล	
3.3 สเปกトラการดูดกลืนแสงและสเปกトラการคายแสง ของ MEH-PPV	24
ในตัวทำละลายบิวทานอล	
3.4 สเปกトラการดูดกลืนแสงและสเปกトラการคายแสง ของ MEH-PPV	27
ในตัวทำละลายพสมะห่วงคลอโรฟอร์มและไชโคลเซกเซน และในตัวทำละลายพสมะห่วงโทกอินและไชโคลเซกเซน เมื่อเพิ่มอุณหภูมิที่ความเข้มข้น 0.002 mg/mL	

## สารบัญรูป(ต่อ)

รูปที่	หน้า
3.5 สเปกตรารายแสง ของ MEH-PPV ในตัวทำละลายพสมะห่วง คลอร์ฟอร์มและไชโคลเซกเซนและโทลูอีนและไชโคลเซกเซน เมื่อลดอุณหภูมิที่ความเข้มข้น 0.002 mg/mL	28
3.6 สเปกตรารดูดกลืนแสงและสเปกตรารายแสง ของ MEH-PPV ในตัวทำละลายพสมะห่วงไพริดีนและไชโคลเซกเซน เมื่อเพิ่มลดอุณหภูมิที่ความเข้มข้น 0.002 mg/mL	30
3.7 สเปกตราระดับแสงและสเปกตรารายแสง ของ MEH-PPV ในตัวทำละลายโทลูอีน	32
3.8 สเปกตราระดับแสงและสเปกตรารายแสง ของ MEH-PPV ในตัวทำละลายไพริดีน	33
3.9 สเปกตราระดับแสงและสเปกตรารายแสง ของ MEH-PPV ในตัวทำละลายโทลูอีนเมื่อเพิ่มความเข้มข้น	34
3.10 สเปกตราระดับแสงและสเปกตรารายแสง ของ MEH-PPV ในตัวทำละลายไพริดีนเมื่อเพิ่มความเข้มข้น	35

## สารบัญตาราง

ตารางที่	หน้า
3.1 แสดงค่า Density, Dielectric constant, จุดเดือด, จุดหลอมเหลว และความสามารถในการละลาย	19



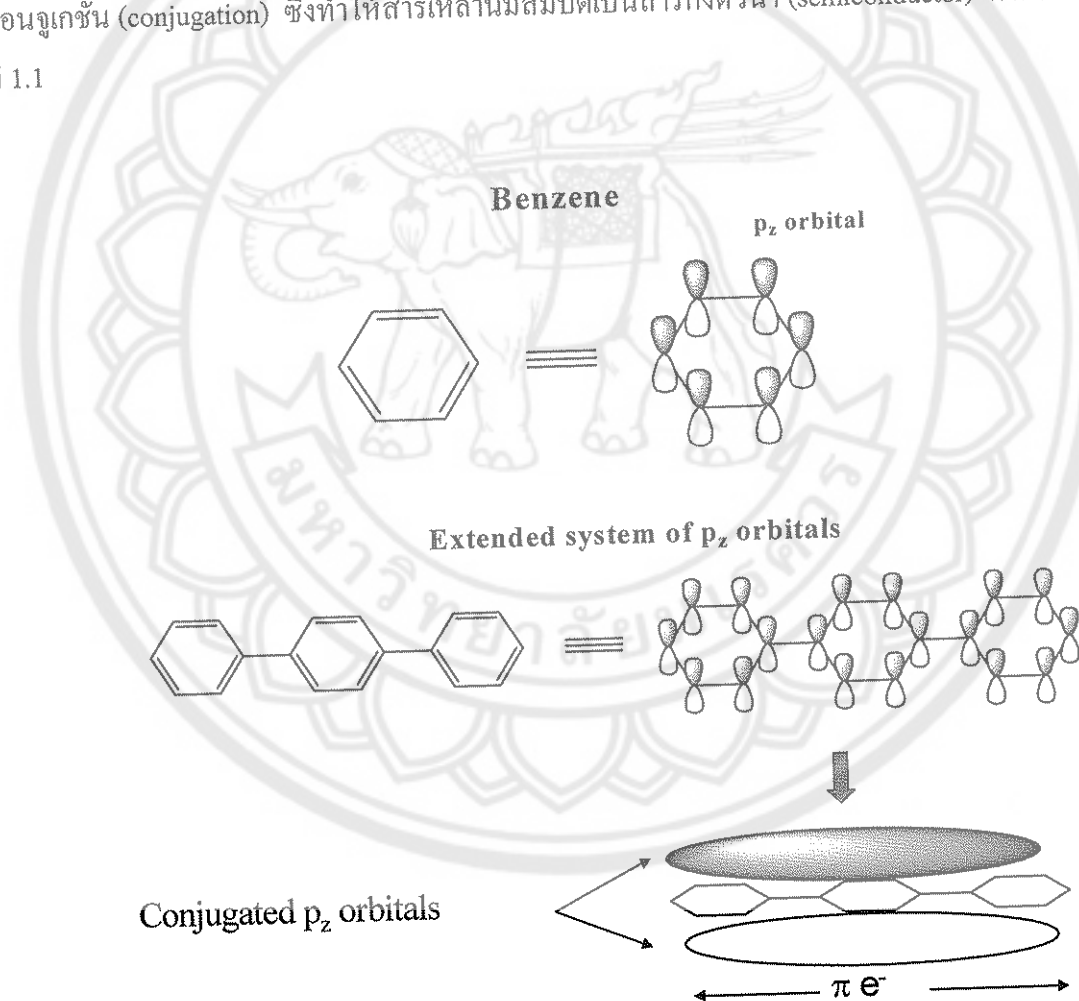
## คำอธิบายตัวย่อ

HOMO	highest occupied molecular orbital
LUMO	lowest unoccupied molecular orbital
MEH-PPV	Poly-2-methoxy-5-(2'-ethylhexoxy) phenylene-vinylene
BEH-PF	Poly(9,9-bis(2-ethylhexyl)fluorine
PF-co-Ant	Poly(fluorene-co-anthracene)
nm	nanometre
$\lambda_{\max}$	ค่าความยาวคลื่นที่ดูดกลืนแสงได้ สูงสุด
v/v %	เปอร์เซ็นต์โดยปริมาตร
°C	องศาเซลเซียส

บทที่ 1  
บทนำ

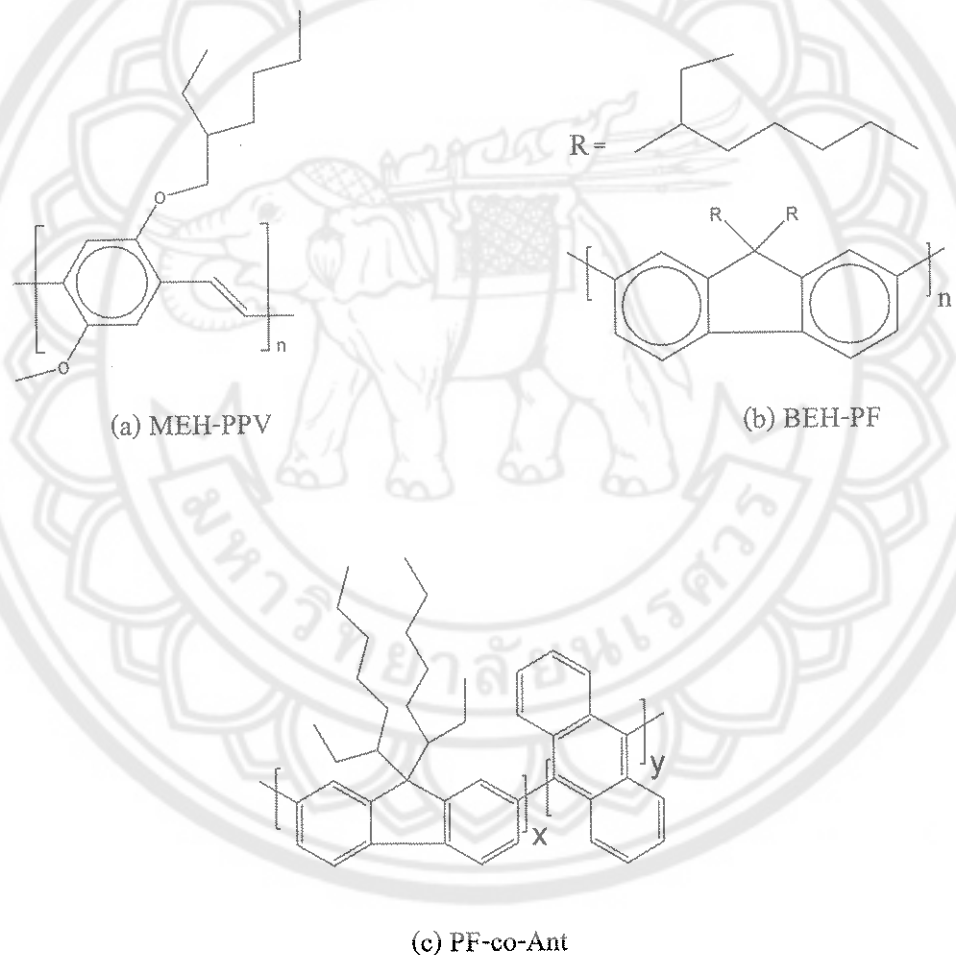
## 1.1 คอนจูเกตโพลิเมอร์ (Conjugated Polymers)

ค่อนjugated polymers) เป็นสารกึ่งตัวนำที่สามารถเปลี่ยนพลังงานไฟฟ้าเป็นพลังงานแสงได้ (electroluminescence) โดยสมบัติการเรืองแสงของโพลิเมอร์เหล่านี้ จะขึ้นอยู่กับชนิดของโพลิเมอร์และการจัดเรียงตัวที่แตกต่างกัน โครงสร้างของสารค่อนjugated polymers ที่มีสมบัติเป็นสารกึ่งตัวนำได้ คือ สายโซ่โพลิเมอร์จะมีลักษณะเป็นวงแหวนเบนซินที่ถูกนำมาต่อ กันหลาย ๆ วง มีลักษณะเป็นพันธะคู่สลับกับพันธะเดี่ยว เกิดการจัดเรียง π, օร์บิทอลอยู่ในระบบเดียวกันส่งผลให้ π อิเล็กตรอนสามารถกระโดดจากตำแหน่งหนึ่งไปสู่อีกตำแหน่งหนึ่งภายในโมเลกุลได้ นั่นคือเกิดการค่อนjugation ซึ่งทำให้สารเหล่านี้มีสมบัติเป็นสารกึ่งตัวนำ (semiconductor) ดังแสดงในรูป



รูปที่ 1.1 แสดงการเกิดคอนจูเกชันของ π ออร์บิทอลในสายโซ่โพลิเมอร์

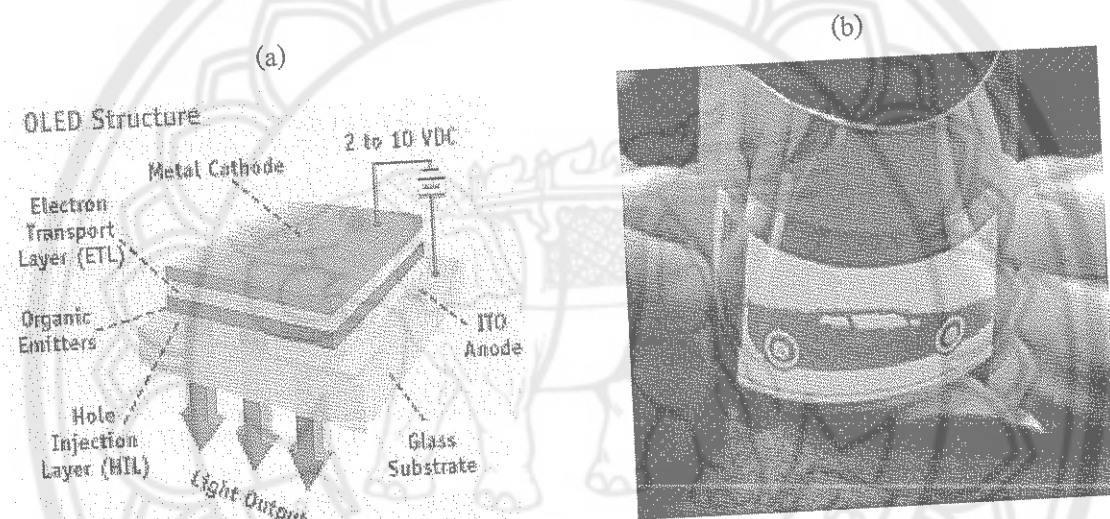
จากคุณสมบัติที่คอนจูเกต พอลิเมอร์สามารถเรืองแสงได้และเป็นสารกึ่งตัวนำ ทำให้สารเหล่านี้มีศักยภาพในการนำไฟประยุกต์ใช้ในเทคโนโลยีต่างๆของอนาคต เช่น การนำไฟประยุกต์มาเป็นสีน้ำเงินในอุปกรณ์อิเล็กทรอนิกส์ขนาดเล็ก (molecular electronics) และนำไฟประยุกต์ใช้เป็นสารเปล่งแสงในเทคโนโลยี Organic Light Emitting Diode (OLED) ซึ่งจะมีผลลัพธ์เป็นที่สนใจอย่างกว้างขวางทั่วโลกในวงการวิทยาศาสตร์และอุตสาหกรรมการผลิตจอภาพแบบแบน (flat panel display) คอนจูเกต พอลิเมอร์ที่กำลังเป็นที่นิยมนิรนามศึกษาสำหรับนำไฟประยุกต์ใช้ในเทคโนโลยี OLED มีหลายชนิด ยกตัวอย่างเช่น Poly-2-methoxy-5-(2'-ethylhexoxy)phenylenevinylene (MEH-PPV) ซึ่งสามารถเปล่งแสงสีแดง, Poly(9,9-bis(2-ethylhexyl)fluorene (BEH-PF) เปล่งแสงสีเขียว และ Poly(fluorene-co-anthracene) (PF-co-Ant) เปล่งแสงสีเทา/ขาว โครงสร้างของพอลิเมอร์เหล่านี้แสดงดังรูปที่ 1.2



รูปที่ 1.2 แสดงโครงสร้างของคอนจูเกตโพลิเมอร์ (a) Poly-2-methoxy-5-(2'-ethylhexoxy)phenylene-vinylene (MEH-PPV), (b) Poly(9,9-bis(2-ethylhexyl)fluorene (BEH-PF) และ (c) Poly(fluorene-co-anthracene) (PF-co-Ant)

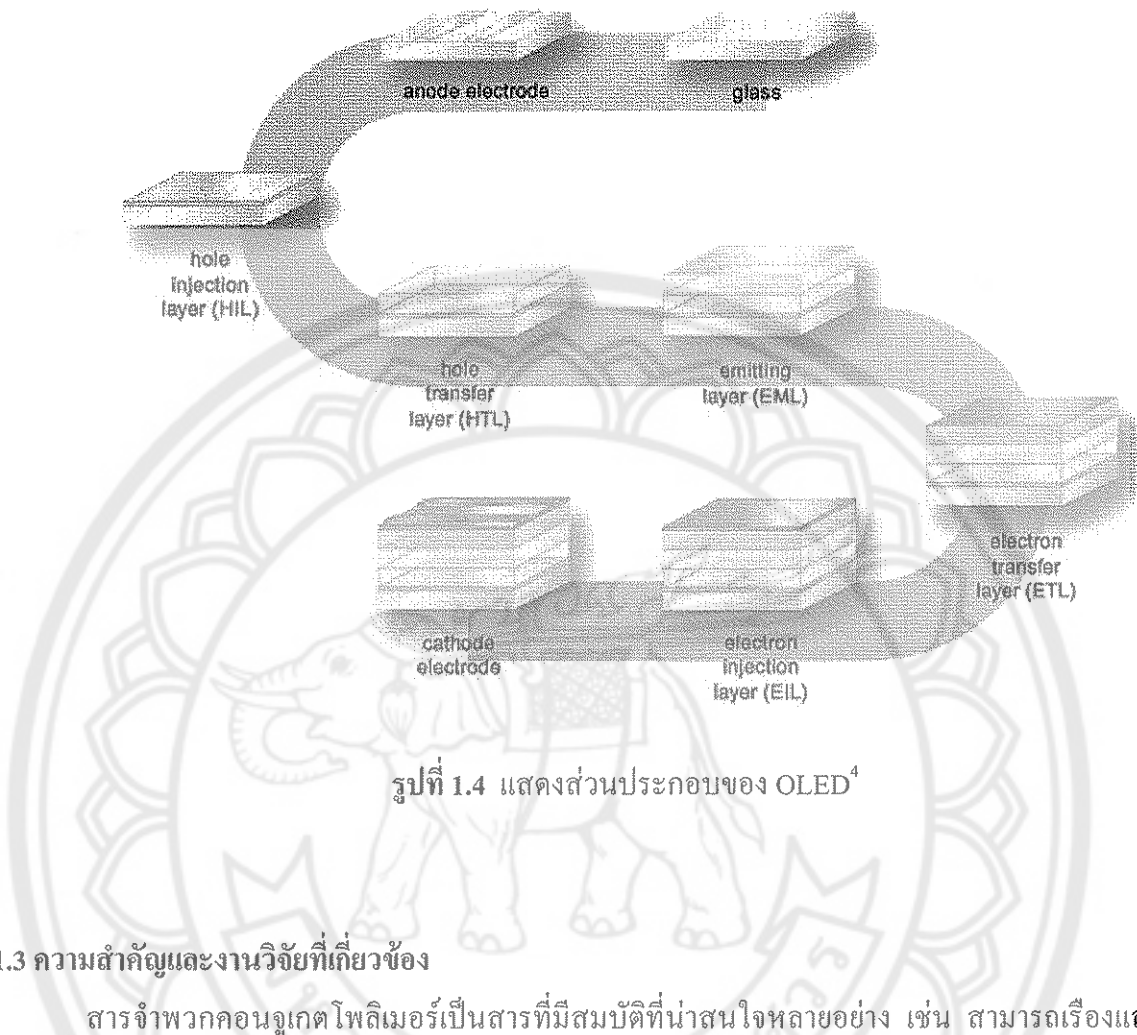
## 1.2 เทคโนโลยีอุปกรณ์ปล่อยแสงอินทรีย์ (Organic Light Emitting Diode: OLED)

OLED (Organic Light Emitting Diode) หรืออุปกรณ์ปล่อยแสงอินทรีย์ มีคุณสมบัติพิเศษทางเทคโนโลยี คือ สามารถเรืองแสงได้ด้วยตัวเองโดยไม่ต้องใช้ไฟส่องค้านหลัง แต่จะอาศัยสารอินทรีย์ ไฟฟ้าเป็นพลังงานแสงได้ เรียกสารเหล่านี้ว่า อิเล็กตรอลูมิเนสเซนซ์ (electroluminescence) ซึ่งเป็นสารโพลิเมอร์ที่ให้สีต่างๆ ดังที่กล่าวมาข้างต้น เมื่อนำมาประกอบกันและให้พลังงานไฟฟ้าจะปล่อยแสง ประกอบกันเป็นภาพและสีตามต้องการ ดังรูปที่ 1.3(a) เมื่อนำโพลิเมอร์เหล่านี้ไปเคลือบบนพื้นผิวต่างๆ เช่น โลหะหรือแก้ว จะทำให้พื้นผิวนั้นสามารถแสดงภาพออกมายได้ จึงได้จากการที่บาง แบบ เป็น ให้สี คุณชัด และยืดหยุ่นได้ ดังแสดงในรูปที่ 1.3(b)



รูปที่ 1.3 (a) แสดงโครงสร้างของ OLED (b) แสดงตัวอย่างของ OLED<sup>2</sup>

ในปัจจุบันได้มีการนำเอาเทคโนโลยี OLED มาใช้แล้วในจากการของคอมพิวเตอร์โน๊ตบุ๊ค คือ จอทีเอฟที (Thin Film Transistor: TFT) โดยทีเอฟที คือ ชุดของ OLED ที่มีทรานซิสเตอร์ตัวเดียว ควบคุมในแต่ละจุด โดยจะบอกว่าสีไหนจะส่องสว่างเท่าไร โดยทีเอฟทีจะรับคำสั่งมาและส่งต่อ ตลอดเวลา ทำให้ได้ภาพเคลื่อนไหวที่ชัดเจน<sup>1</sup> โดยส่วนประกอบของ OLED เริ่มจากฐานชั้นล่างเป็นแก้ว ชั้นต่อไปเรียกว่า ไอทีโอ (Indium Thin Oxide) เป็นชั้นนำไฟฟ้าที่ยอมให้แสงผ่านได้ ชั้นลักษ์ไปเป็นชั้นที่ ชั้นต่อไปเรียกว่า ไอลีท (hole) หรือประจุลบวิ่งได้ดีขึ้น เรียกว่า ชั้นขนส่งไฮด์ ตามด้วยชั้นสำหรับปล่อยแสง และ ชั้นที่ช่วยให้อิเล็กตรอนวิ่งได้เชื่อมต้านบน โดยมีข้าวโลหะวางอยู่ทั้งบนอีกชั้น ดังรูปที่ 1.4 ซึ่งชุดเด่น ของ OLED คือ สามารถทำงานแผ่นวัสดุที่โค้งงอได้ เช่น พลาสติก ที่สำคัญ OLED ไม่มีสารพิษเป็น ส่วนประกอบและเป็นสารอินทรีย์ที่ย่อยสลายง่าย<sup>3</sup>



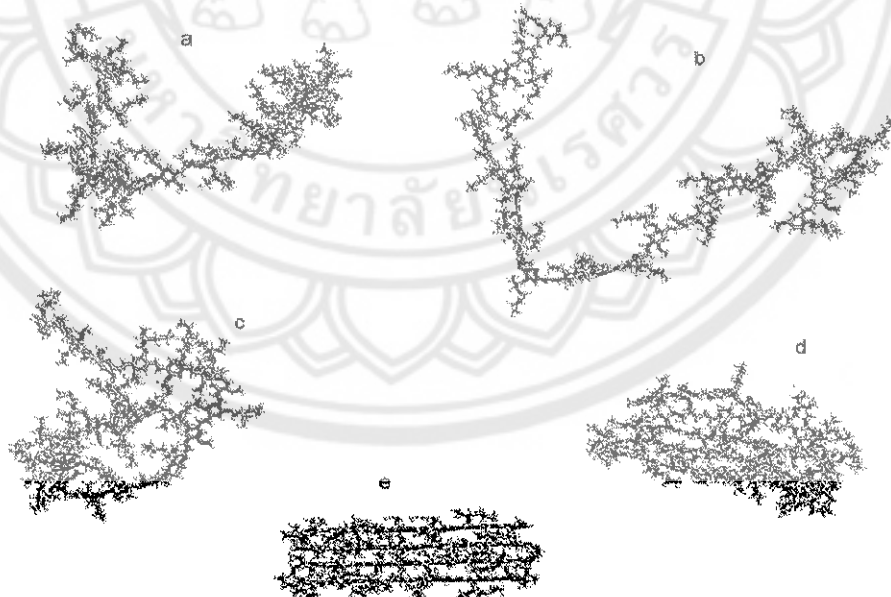
รูปที่ 1.4 แสดงส่วนประกอบของ OLED<sup>4</sup>

### 1.3 ความสำคัญและงานวิจัยที่เกี่ยวข้อง

สารจำพวกอนุเกตโพลิเมอร์เป็นสารที่มีสมบัติที่น่าสนใจหลายอย่าง เช่น สามารถเรืองแสงได้เป็นอย่างดี เมื่อมีการกระตุ้นด้วยแสงและกระแสไฟฟ้า (photo and electroluminescence)<sup>5-8</sup> นอกจากนี้การเกิดค่อนอนุเกหั่นภายในสายโซ่หลัก ยังมีผลทำให้ค่อนอนุเกตโพลิเมอร์สามารถนำไฟฟ้าได้เมื่อนำไปต่อ กับขั้ว อิเล็ก trode ที่เหมาะสม<sup>9</sup> จากคุณลักษณะต่างๆเหล่านี้ทำให้สารค่อนอนุเกตโพลิเมอร์มีศักยภาพอย่างมากในการนำไปพัฒนาเพื่อใช้ในเทคโนโลยีต่างๆสำหรับอนาคต เช่น อาจจะสามารถนำไปใช้เป็นเส้นลวด โมเลกุล (molecular wires) สำหรับเทคโนโลยีอิเล็กทรอนิกส์ระดับโมเลกุล (molecular electronics)<sup>9</sup> ความสามารถในการเรืองแสงของสารเหล่านี้ในสนามไฟฟ้า ยังทำให้สามารถประยุกต์ใช้ในเทคโนโลยีอิเล็กทรอนิกส์ เช่น ใช้เป็นสารเรืองแสงในเทคโนโลยี OLED<sup>6-8</sup> นอกจากนี้ความสามารถในการเรืองแสงที่แตกต่างกันเมื่อโพลิเมอร์เจ้าจับสารชนิดต่างๆ ยังทำให้สามารถที่จะพัฒนาไปเป็น chemical sensors<sup>6-10</sup> จากสมบัติที่น่าสนใจเหล่านี้ ทำให้ค่อนอนุเกตโพลิเมอร์ได้รับความสนใจจากนักวิทยาศาสตร์อย่างแพร่หลาย

ในการนำค่อนจูเกต พอลิเมอร์เหล่านี้ไปประยุกต์ใช้ จำเป็นที่จะต้องทำโพลิเมอร์ให้อยู่ในสภาพต่างๆ ขึ้นอยู่กับลักษณะของการใช้งาน เช่น ในกรณีของการใช้โพลิเมอร์ในการทำพิกเซลของ OLED ต้องทำการเตรียมโพลิเมอร์ให้อยู่ในลักษณะของฟิล์มบาง ในกรณานี้ไปใช้เป็นเส้นลวด ไม่เดกุลจำเป็นที่จะต้องจับโพลิเมอร์ให้อยู่บนพื้นผิวของของแข็งในลักษณะของไม้เลกุลเดี่ยวที่แยกกัน หรือมีโครงสร้างที่เกิดจากการเกาะกันหลายๆ ไม้เลกุลที่มีขนาดใหญ่ตามที่ต้องการ ส่วนการจะพัฒนาโพลิเมอร์ไปเป็น chemical sensors อาจต้องเตรียมโพลิเมอร์ให้อยู่ในสภาวะของสารละลาย

จากการศึกษาของนักวิทยาศาสตร์พบว่า ค่อนจูเกต พอลิเมอร์จะแสดงสมบัติทางไฟฟ้าและสมบัติทางแสงที่แตกต่างกัน เมื่ออยู่ในสภาวะแวดล้อมที่แตกต่างกันขึ้นอยู่กับโครงสร้างภายใน<sup>5,6</sup> เช่น สมบัติการดูดกลืนและหายแสงของโพลิเมอร์ไม้เลกุลเดี่ยวในสารละลายจะขึ้นอยู่กับลักษณะโครงสร้างซึ่งสามารถควบคุมได้โดยการปรับความแรงของแรงกระทำระหว่างโพลิเมอร์และตัวทำละลาย<sup>5,11-13</sup> ดังรูปที่ 1.5 แสดงลักษณะโครงสร้างของตัวอย่าง MEH-PPV แบบต่างๆ ซึ่งขึ้นอยู่กับชนิดของตัวทำละลาย<sup>5</sup> ในตัวทำละลายที่ดีสายโซ่โพลิเมอร์จะอยู่ในลักษณะที่ขยายตัว ดังแสดงในรูป 1.5(a) และ 1.5(b) ซึ่งการจัดเรียงตัวแบบนี้จะช่วยให้สามารถเกิดการค่อนจูเกชั่น ได้่ายากในไม้เลกุล นั่นคือทำให้มีความยาวของการเกิดค่อนจูเกชั่น (conjugation length) ที่ค่อนข้างยาว ในขณะที่เมื่อทำการลดความสามารถในการละลายของโพลิเมอร์ลง<sup>5,13</sup> จะส่งผลทำให้สายโซ่โพลิเมอร์เกิดการหดตัวลง ดังแสดงในรูปที่ 1.5(c), 1.5(d) และ 1.5(e) ตามลำดับ ซึ่งการหดตัวจะทำให้เกิดการเปลี่ยนแปลงในสายโซ่หลักของโพลิเมอร์มีผลลดความสามารถในการเกิดการค่อนจูเกชั่น นั่นคือมีความยาวของการเกิดค่อนจูเกชั่นที่ค่อนข้างสั้น พฤติกรรมลักษณะนี้อาจมีประโยชน์ในการใช้ควบคุมคุณสมบัติของโพลิเมอร์ให้เป็นไปตามที่ต้องการได้



รูปที่ 1.5 แสดงลักษณะโครงสร้างของ MEH-PPV แบบต่างๆ

(a, b) extended coil (c, d, e) collapsed coil<sup>11</sup>

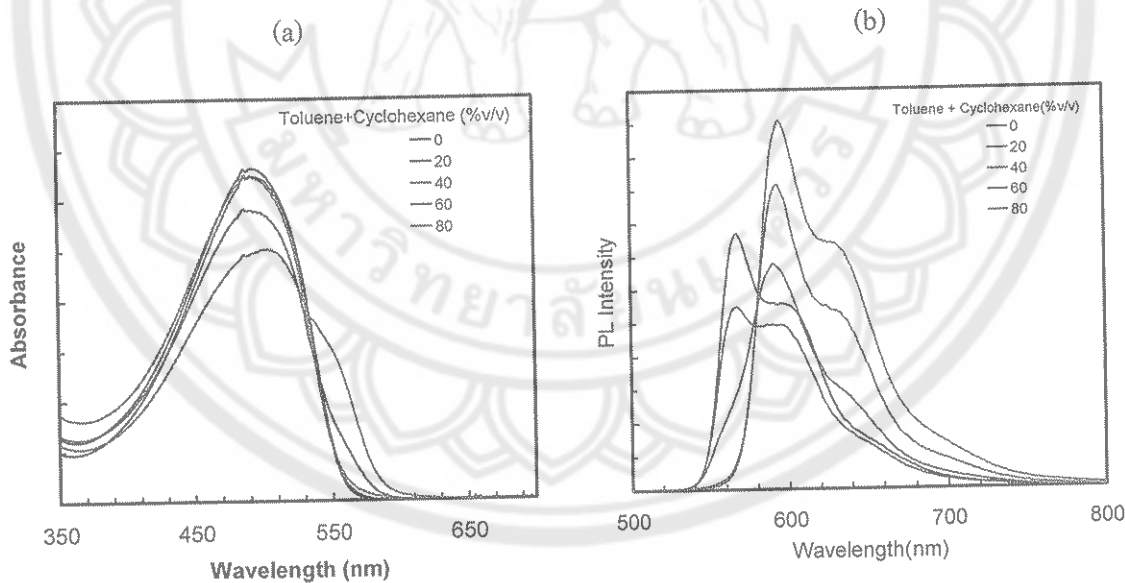
นอกจากนี้ยังมีพฤติกรรมบางอย่างที่อาจเป็นข้อเสียสำหรับการประยุกต์ใช้ จากโครงสร้างทางโมเลกุลของคอนจูเกตโพลิเมอร์ที่ประกอบไปด้วยพันธะ  $\pi$  ( $\pi$  bond) เป็นจำนวนมาก ทำให้เกิดแรงดึงดูดอ่อนๆ ระหว่างสายโซ่โพลิเมอร์ชิ้นที่เรียกว่า  $\pi-\pi$  interaction ซึ่งมีผลทำให้คอนจูเกตโพลิเมอร์ซอนที่จะเข้ามีส่วนร่วมในการเกิดเป็นโครงสร้างขนาดใหญ่ขึ้น โดยถ้าการเข้ามีส่วนร่วมของสายโซ่ในลักษณะที่ทำให้เกิดการซ้อนทับกันระหว่าง  $\pi$  ออร์บิทอลของหลายๆ โมเลกุล จะทำให้สามารถเกิดการเคลื่อนที่ไปมาของ  $\pi$  อิเล็กตรอนระหว่างโมเลกุลได้ ส่งผลทำให้เกิดอิเล็กทรอนิกส์ปฏิเสธใหม่ขึ้น ซึ่งมีสมบัติการเรืองแสงที่แตกต่างจากสมบัติของสายโซ่โพลิเมอร์โมเลกุลเดียว นั่นคือเกิดการรายแสงที่ระดับพลังงานต่ำลง (red shift) นอกจากนี้ยังพบว่าประสิทธิภาพของการรายแสง (quantum yield) ยังลดลงอีกด้วย<sup>14-16</sup> การเข้ามีส่วนร่วมของโพลิเมอร์ในลักษณะนี้เรียกว่า aggregation ซึ่งการเข้ามีส่วนร่วมกันของสายโซ่โพลิเมอร์นี้ถือเป็นปัญหาสำคัญอย่างหนึ่งของการประยุกต์ใช้ในเทคโนโลยี OLED เพราะจะต้องทำการเตรียมโพลิเมอร์ให้อยู่ในฟิล์มบางและทำให้เกิดการซ้อนทับกันอย่างมาก ซึ่งมีผลทำให้การรายแสงลดลง

จากที่กล่าวมา จะเห็นว่าการศึกษาปัจจัยพื้นฐานต่างๆ ที่มีผลต่อสมบัติทางแสงของคอนจูเกตโพลิเมอร์ นอกจากจะมีความสำคัญในการสร้างองค์ความรู้ใหม่โดยตรงแล้ว ยังมีความสำคัญอย่างยิ่งต่อการประยุกต์ใช้ให้เกิดประโยชน์สูงสุดอีกด้วย ในกรณีนี้จะทำการศึกษาพฤติกรรมอย่างหนึ่งของคอนจูเกตโพลิเมอร์ซึ่งเป็นปัจจัยที่มีผลอย่างมากต่อพฤติกรรมการดูดกลืนและการรายแสง นั่นคือศึกษาปัจจัยที่มีผลต่อพฤติกรรมการแยกออกจากกันของ MEH-PPV aggregates ในสารละลาย จากที่กล่าวมาแล้ว ข้างต้นว่าการเกิด aggregates นั้น จะส่งผลทำให้เกิด red-shift ขึ้นและเกิดการลดลงของประสิทธิภาพการรายแสง ดังนั้นการศึกษาในส่วนนี้อาจนำไปสู่ความสามารถที่จะลดการเกิด aggregation ได้ หรือ สามารถควบคุมปริมาณของ aggregate ที่เกิดขึ้น ซึ่งเป็นองค์ความรู้ที่มีความสำคัญอย่างยิ่งต่อการพัฒนาเทคโนโลยี OLED ให้มีประสิทธิภาพการเปล่งแสงสูงสุด

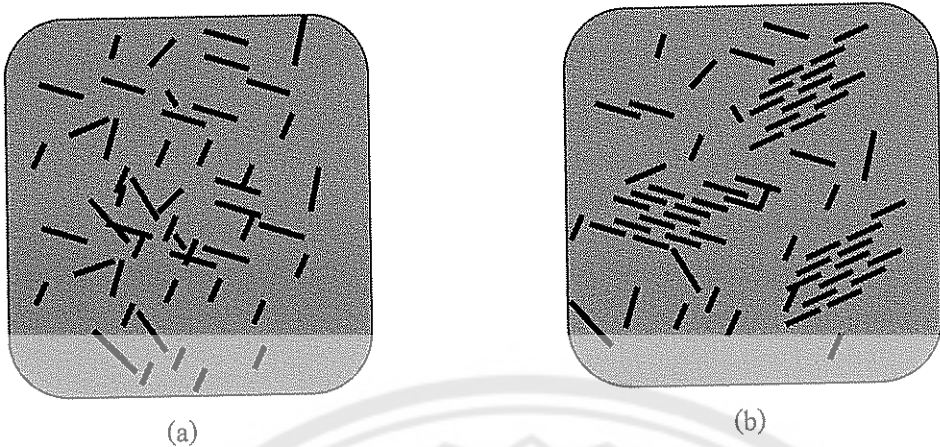
จากคุณสมบัติของคอนจูเกตโพลิเมอร์ จะเห็นว่ามีการนำมาระยุกต์ใช้ในเทคโนโลยีทางอิเล็กทรอนิกส์มากน้ำ ซึ่งการนำโพลิเมอร์เหล่านี้ไปใช้ จำเป็นที่จะต้องทำให้โพลิเมอร์อยู่ในสภาพฟิล์มบาง หรือจะต้องทำให้โพลิเมอร์อยู่บนพื้นผิวของของแข็งก่อน ในลักษณะโมเลกุลเดียวที่แยกกันหรือมีโครงสร้างที่เกิดจากการเกาะกันหลายๆ โมเลกุลที่มีขนาดใหญ่ขึ้น การที่จะสามารถควบคุมลักษณะการจัดเรียงตัวของโพลิเมอร์ให้อยู่ตามแบบที่ต้องการได้ จะต้องเข้าใจถึงสมบัติพื้นฐานของการเรืองแสงและการรายแสงที่สภาวะต่างๆ ของคอนจูเกตโพลิเมอร์ในระบบสารละลาย ซึ่งโพลิเมอร์จะมีลักษณะการจัดเรียงตัวได้หลายแบบเกิดเป็นโครงสร้างแบบต่างๆ ในแต่ละสิ่งแวดล้อม จากการศึกษาจากนักวิจัยหลายกลุ่มพบว่า สมบัติทางไฟฟ้าและสมบัติทางแสงของโพลิเมอร์เหล่านี้ขึ้นอยู่กับลักษณะการจัดเรียงตัวของโมเลกุล ซึ่งก็เป็นผลมาจากการเกิด  $\pi-\pi$  communication ภายในโมเลกุลและระหว่างโมเลกุลและความยาวของการเกิดคอนจูเกชัน ดังนั้นในการที่จะพัฒนาโพลิเมอร์เพื่อที่จะนำไปใช้จึงมีความจำเป็นอย่างยิ่ง ที่จะต้องเรียนรู้พฤติกรรมการจัดเรียงตัวของโพลิเมอร์ในระบบสารละลายให้ละเอียด รวมทั้ง

เข้าใจถึงปัจจัยที่มีผลต่อการเข้าจับกันของโพลิเมอร์ที่เกิดเป็นโครงสร้างต่างๆ เพื่อที่จะทำให้สามารถควบคุมลักษณะการจัดเรียงตัวของโมเลกุล ทั้งในระบบสารละลายและบนพื้นผิวของแข็งได้ ดังนั้นในการศึกษาเกี่ยวกับสมบัติทางแสงของลักษณะการจัดเรียงตัวของกองอนุเกตโพลิเมอร์จึงมีความน่าสนใจเป็นอย่างมาก

การเห็นว่านาให้เกิด aggregation ของกองอนุเกตโพลิเมอร์ในสารละลาย สามารถทำได้โดยการเติมตัวทำละลายที่ไม่เดิบไปในสารละลายของโพลิเมอร์ในตัวทำละลายที่ดี<sup>15,16</sup> ซึ่งการลดลงของความสามารถในการละลายและแรงดึงดูดแบบ  $\pi-\pi$  interaction ระหว่างกองอนุเกตโพลิเมอร์จะทำหน้าที่เป็นแรงกระทำสำคัญที่ทำให้เกิดการเข้าจับกันของโมเลกุล การจัดเรียงตัวของสายโซ่โพลิเมอร์ภายใน aggregate ใกล้ชิดกันมาก (คล้ายกับการจัดเรียงตัวภายในฟลีมบาง) ทำให้เกิดการ delocalization ของ  $\pi$  อิเล็กตรอนระหว่างโมเลกุล ซึ่งจะมีผลทำให้เกิด red shift peak ขึ้นในสเปกตราระดูกลืนแสงและการหายแสง รูปที่ 1.6 แสดงลักษณะของการเกิด red shift peak เมื่อเกิด aggregation ในสารละลาย ส่วนรูปที่ 1.7 เป็นแผนภาพแสดงลักษณะของการเกิด aggregation โดยเริ่มต้นน้ำสายโซ่โพลิเมอร์จะสามารถกระจายอยู่ในสารละลายอย่างอิสระในตัวทำละลายที่ดี เช่น โทลูอินและคลอโรฟอร์ม ดังแสดงในรูป 1.7a เมื่อทำการเติมตัวทำละลายที่ไม่ดีใช้โคลอเจนเข้าไปในระบบ ทำให้เกิด aggregation ดังแสดงในรูป 1.7b ขนาดและปริมาณของ aggregates ที่เกิดขึ้นจะสอดคล้องความเข้มของ red shift peak ที่เกิดขึ้นดังแสดงในรูปที่ 1.6



รูปที่ 1.6 ตัวอย่างของ (a) uv-vis spectra และ (b) emission spectra ของสารละลาย MEH-PPV ในตัวทำละลายพสมระหว่างตัวทำละลายที่ดีโทลูอินกับตัวทำละลายที่ไม่ดีใช้โคลอเจน เมื่อเติมใช้โคลอเจนลงไปในปริมาณมากพอ จะสังเกตเห็น red shift peak ในสเปกตราระดูกลืนและการหายแสง



รูปที่ 1.7 แผนภาพแสดงการเกิด (a) aggregation ของคอนจูเกต โพลิเมอร์ในสารละลาย  
(b) เมื่อทำการเติมตัวทำละลายที่ไม่ดีเข้าไปในระบบ

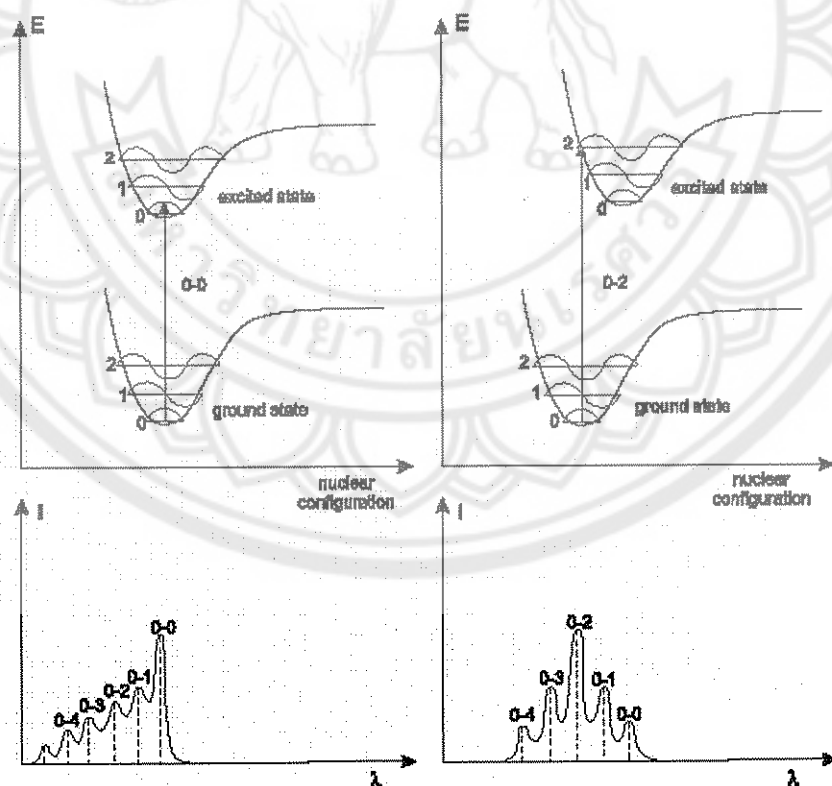
นอกจากนี้การศึกษาเบื้องต้นยังพบว่าสารละลาย MEH-PPV ในตัวทำละลายที่ไม่ดีในกลุ่มของสารแอลกอฮอล์ยังมีผลทำให้เกิดการ aggregation ขึ้นในสารละลายได้ในลักษณะคล้ายกัน ซึ่ง MEH-PPV aggregate ที่เกิดขึ้นนี้ สามารถทำให้แยกออกจากกันได้เมื่อทำการเพิ่มพลังงานของระบบด้วยการเพิ่มอุณหภูมิให้สูงขึ้น เนื่องจากการที่ MEH-PPV ที่อยู่ในสภาพวัสดุอย่างเดียวและแบบ aggregates มีสมบัติการคุกคักลื่นแสงและการหายแสงที่แตกต่างกันดังที่ได้กล่าวมาแล้วข้างต้น ดังนั้นจึงทำให้สามารถติดตามพฤติกรรมการแยกออกจากกันของ aggregates โดยใช้เทคนิคทางสเปกตรอสโคปีได้ ในงานวิจัยนี้จะทำการศึกษาการแตกตัวของสารละลาย MEH-PPV ในแอลกอฮอล์ชนิดต่างๆ ซึ่งการศึกษาการเปลี่ยนแปลงของสเปกตรราเหล่านี้โดยละเอียด จะทำให้สามารถเข้าใจถึงพฤติกรรมการเข้าจัดเรียงตัวของสายโซ่โพลิเมอร์เพื่อเกิดเป็น aggregates อย่างไรก็ตามยังต้องมีการศึกษาในอีกหลายแง่มุมเพื่อให้เกิดความเข้าใจที่ชัดเจนเกี่ยวกับพฤติกรรมการเปลี่ยนแปลงนี้ ในการวิจัยนี้จะได้ทำการศึกษาการแตกตัวของ aggregates ในตัวทำละลายแอลกอฮอล์ในลักษณะนี้ โดยทำการเปลี่ยนแปลงตัวแปรต่างๆ เช่น ชนิดของตัวทำละลายที่ใช้ อุณหภูมิ และ ความเข้มข้นของโพลิเมอร์

การเลือกใช้ตัวทำละลายในกลุ่มแอลกอฮอล์ในการศึกษานี้มีข้อดีอยู่หลายประการคือ สามารถที่จะเปลี่ยนแปลงความเป็นขั้วของตัวทำละลายได้อย่างเป็นระบบ โดยการเปลี่ยนแปลงขนาดของสายโซ่ไม่เลกุต นั่นคือการเพิ่มความยาวของสายโซ่แอลกอฮอล์จะมีผลทำให้ความมีขั้วน้อยลง ซึ่งความเป็นขั้วก็จะส่งผลโดยตรงต่อลักษณะรูปร่างของสายโซ่ MEH-PPV และ การจัดเรียงตัวของไมเลกุลภายใน aggregates โดยการเพิ่มความเป็นขั้วของตัวทำละลายจะทำให้เกิดการลดตัวของสายโซ่โพลิเมอร์ (ดูรูปที่ 1.5) และ ทำให้เกิดการจัดเรียงตัวของไมเลกุล ได้มากขึ้น ปัจจัยระดับไมเลกุลเหล่านี้คาดว่าจะมีผลอย่างมากต่อพฤติกรรมการแตกตัวของ MEH-PPV aggregates นอกจากนี้ตัวทำละลายแอลกอฮอล์ยังมีจุดเดือด

ค่อนข้างสูง ทำให้เหมาะสมสำหรับการศึกษาผลของอุณหภูมิ การเปลี่ยนแปลงความเข้มข้นของโพลิเมอร์ ก็คาดว่าจะมีผลต่อพฤติกรรมการแยกออกจากกันของ MEH-PPV aggregates เช่นเดียวกัน

#### 1.4 หลักการและเทคนิคในการวิเคราะห์

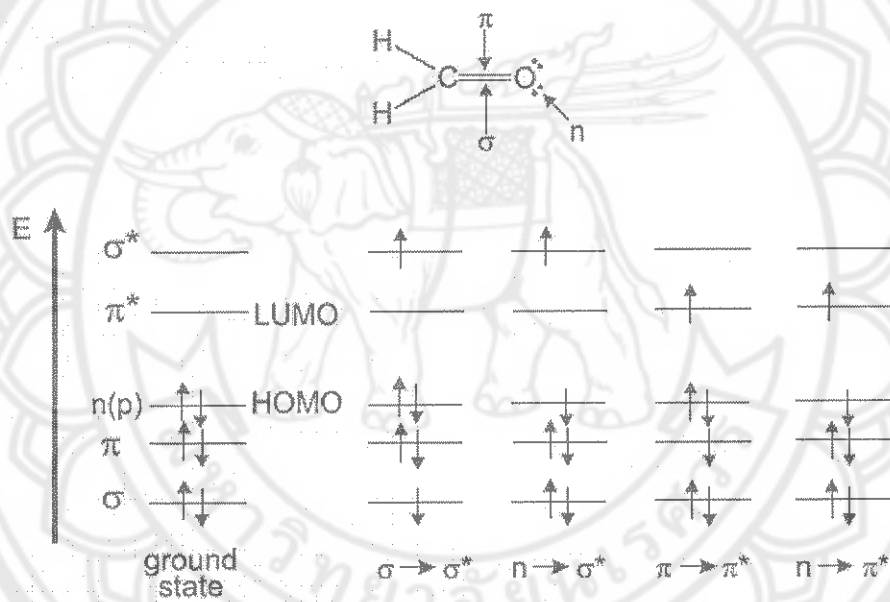
ในการศึกษาผลของการจัดเรียงตัวโมเลกุลที่มีต่อสมบัติการดูดกลืนและภายในของสาร ค่อนขุนเกตโพลิเมอร์ MEH-PPV ในสารละลาย จะใช้เทคนิคอัลตราไวโอลেตและวิสิเบิล สเปกโตรสโคปี และเทคนิคฟลูออเรสเซนต์ สเปกโตรสโคปี โดยอาศัยข้อมูลจากสเปกตรของสาร เทคนิคทางสเปกโตรสโคปีมาจากพื้นฐานที่โมเลกุลแต่ละชนิดสามารถดูดกลืนรังสีและถูกกระตุ้นได้ สเปกトラจึงมีลักษณะที่ต่างกัน คืออาจเป็นเส้น เป็นแฉนแบบๆ หรือเป็นแบบกว้าง การเข้าสู่สถานะกระตุ้นของโมเลกุลเกิดจากหลายสาเหตุ เช่น เกิดจากการสั่น (vibration) และการหมุน (rotation) ของโมเลกุล เกิดจากการเปลี่ยนแปลงระดับพลังงานของอิเล็กตรอน (electronic transition) การกระตุ้นแต่ละรูปแบบจะใช้พลังงานต่างกัน ดังนั้nlักษณะของสเปกトラ จะสามารถบ่งบอกถึงการเปลี่ยนแปลงโครงสร้างของโมเลกุล ดังแสดงในรูปที่ 1.8 ฝั่งซ้ายเป็นลักษณะของสเปกトラที่ไม่เกิดการเปลี่ยนแปลงของความยาวพันธะในสถานะกระตุ้น แต่ฝั่งขวาเป็นลักษณะของสเปกトラที่เกิดจากการเปลี่ยนแปลงความยาวพันธะในสถานะกระตุ้น



รูปที่ 1.8 แสดงระดับพลังงานซึ่งสอดคล้องกับการเปลี่ยนแปลงความยาวคลื่น<sup>17</sup>

### 1.4.1 อัลตราไวโอเลตและวิสิบิลสเปกโตรสโคปี (Ultraviolet and Visible Spectroscopy)

การดูดกลืนแสงหรือรังสีที่อยู่ในช่วงอัลตราไวโอเลตและวิสิบิล ซึ่งอยู่ในช่วงความยาวคลื่นประมาณ 190 – 800 nm ส่วนใหญ่ได้แก่ พลาสติกอนทรีย์ สารประกอบเชิงซ้อน หรือสารอนินทรีย์ ที่มีสีและไม่มีสี เมื่อให้ลำแสงที่อยู่ในช่วงวิวี-วิสิบิล เคลื่อนที่อย่างต่อเนื่อง ผ่านเข้าไปในโนมเลกุลของสาร แสงบางส่วนจะถูกดูดกลืน บางส่วนเกิดการสะท้อน บางส่วนกระเจิง และบางส่วนผ่านทะลุออกໄไป แต่ถ้าให้แสงที่ทะลุออกໄไปผ่านเข้าเครื่องกระจายแสง เช่น ปริซึม หรือเกรตติง จะเห็นว่าสเปกตรายาวยไปส่วนหนึ่ง เรียกว่า absorption spectrum พลังงานที่ถูกดูดกลืนไปจะทำให้เกิดการเปลี่ยนแปลงระดับพลังงานของอิเล็กตรอน (electronic transition) จากสถานะพื้น (ground state) ไปยังสถานะกระตุ้น (excited state)<sup>18</sup> ดังแสดงในรูปที่ 1.9 ซึ่งเป็นตัวอย่างการเปลี่ยนแปลงระดับพลังงานของอิเล็กตรอนใน formaldehyde

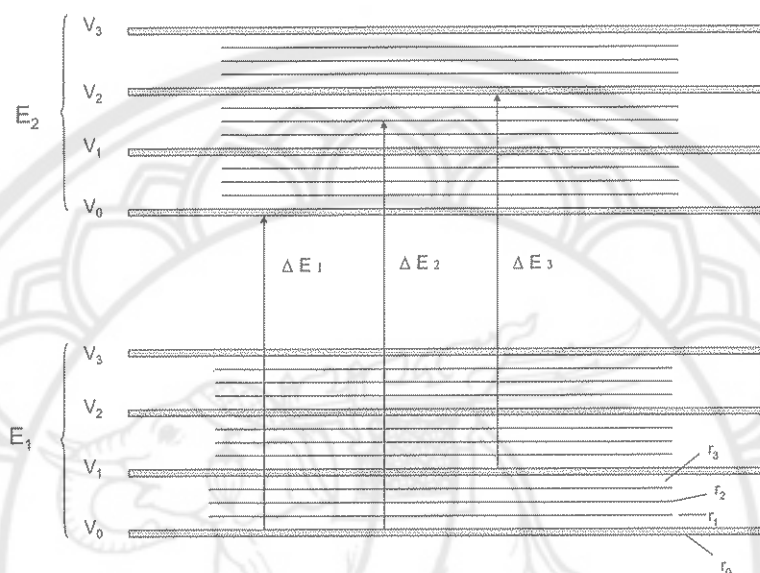


รูปที่ 1.9 แสดงการจัดเรียงระดับพลังงานที่ทำให้อิเล็กตรอนเกิดการเปลี่ยนระดับพลังงาน และการเปลี่ยนแปลงระดับพลังงานของอิเล็กตรอนใน formaldehyde<sup>17</sup>

ค่าพลังงานที่ใช้ในการกระตุ้นแต่ละแบบ สามารถเรียงลำดับการเปลี่ยนแปลงจากน้อยไปมากได้ดังนี้  $\pi \rightarrow \pi^* < \pi \rightarrow \pi^* < \pi \rightarrow \sigma^* < \sigma \rightarrow \pi^* < \sigma \rightarrow \sigma^*$

สารอินทรีย์ทุกชนิดสามารถดูดกลืนรังสีในช่วงวิวีได้ แต่การดูดกลืนรังสีจะเกิดขึ้นได้ต่อเมื่อ พลังงานของรังสีที่ได้รับ มีค่าเท่ากับพลังงานที่ทำให้เกิดการเปลี่ยนแปลงระดับพลังงานของอิเล็กตรอน ในโนมเลกุลนั้น การดูดกลืนรังสีนี้เรียกว่าการเร้าอิเล็กตรอน (electronic excitation) และทำให้อิเล็กตรอนตัวหนึ่งไปอยู่ในระดับพลังงานที่สูงกว่าเดิม (higher electronic excite state) การเร้าอิเล็กตรอนที่สำคัญ

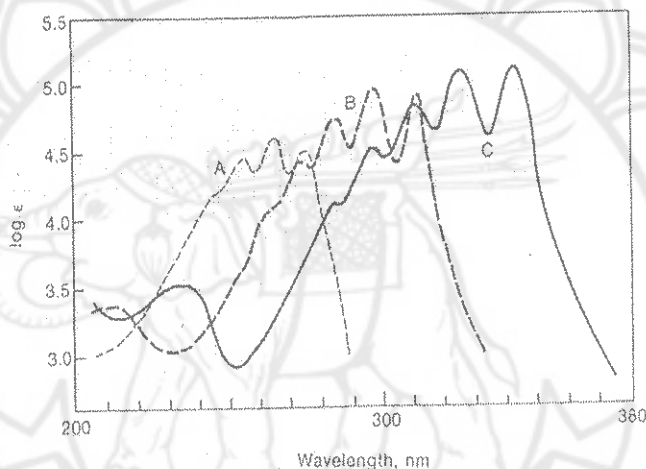
ที่สุดได้แก่การขยับอิเล็กตรอนจากออร์บิทอลของโมเลกุล (molecular orbital) ที่มีพลังงานต่ำและมีอิเล็กตรอนอยู่ไปสู่ออร์บิทอลของโมเลกุลที่ว่างและมีพลังงานสูงขึ้น จากการที่โมเลกุลต่างๆ ไม่อยู่นิ่งทำให้แต่ละอะตอมที่ประกอบเป็นโมเลกุลจะสั่นและหมุนอยู่ตลอดเวลา ระดับพลังงานที่เกิดจากการสั่นและการหมุน (vibrational and rotational energy levels) จะเป็นไปตามกฎของความตัน การเปลี่ยนสภาวะของอิเล็กตรอนทุกรรังจะทำให้เกิดการเปลี่ยนแปลงระดับพลังงานของการสั่นและการหมุนเสมอ<sup>19</sup>



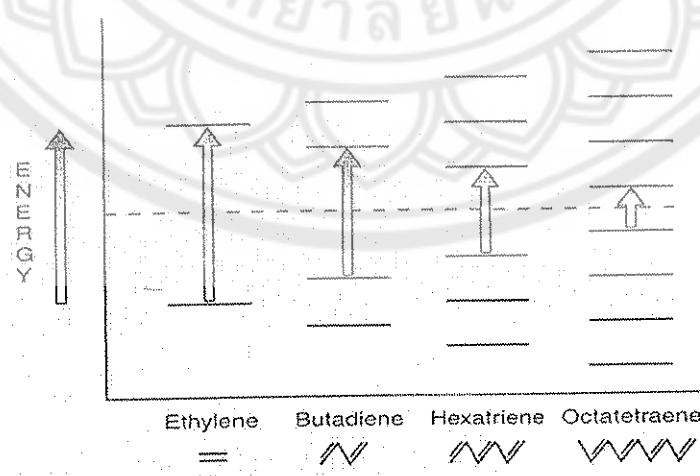
รูปที่ 1.10 แผนภาพแสดงระดับพลังงานการสั่นของอิเล็กตรอนและการหมุนของโมเลกุล โดยที่ E คือ ระดับพลังงานแบบอิเล็กโตรนิกส์, v คือ ระดับพลังงานของการสั่น และ r คือ ระดับพลังงานของการหมุน

สารอินทรีย์ที่มี unsaturated functional group เช่น C=O, C=C, -N=N- และ -NO<sub>2</sub> เป็นต้น สามารถดูดกลืนแสงในช่วงยูวี-วีซิเบิลได้ เรียกว่า โคโรโนฟอร์ (chromophore) แต่ถ้าโคโรโนฟอร์เกิดการเคลื่อนที่ของ π อิเล็กตรอนได้อ่อนย่างอิสระภายในโมเลกุลหรือขับกับโคโรโนฟอร์ชนิดอื่น จะทำให้เกิดスペกトラครูดกลืนแสงขึ้นใหม่ เปลี่ยนไปทางความยาวคลื่นเพิ่มขึ้น ส่วนกุญแจของอะตอมที่ไม่ดูดกลืนแสงในช่วงยูวี-วีซิเบิลหรือดูดกลืนแสงได้เพียงเล็กน้อยเช่น -OH, -NH<sub>2</sub>, -Cl, และ -Br เป็นต้นเรียกว่า ออกไซโครม (auxochrome) ซึ่งจะมีผลต่อスペกตรัมการดูดกลืนแสงของโคโรโนฟอร์ที่ออกไซโครมไปทางอยู่เปลี่ยนแปลงไป โดยอาจทำให้ความยาวคลื่นเพิ่มขึ้นหรือลดลง หรืออาจทำให้การดูดกลืนแสงดีขึ้นหรือลดลง การที่スペกตรัมของการดูดกลืนแสงเปลี่ยนไปในทางที่ความยาวคลื่นเพิ่มขึ้นเรียกว่า bathochromic shift (red shift) และถ้าスペกตรัมของการดูดกลืนแสงเปลี่ยนไปในทางที่ความยาวคลื่นเพิ่มขึ้นเรียกว่า hyperchromic effect แต่ถ้าความเพิ่มของการดูดกลืนแสงลดลงเรียกว่า hypochromic effect นอกจากนี้

ยังมีอีกหลักการหนึ่งที่ถือว่ามีความสำคัญและมีประโยชน์ต่อเทคนิคเคมี-วิสิเมิลสเปกโตรสโคปี คือ ผลของการเกิดคอนจูเกชัน ซึ่งจะทำให้เกิด bathochromic shift (red shift) คือโพรโนไฟร์ที่มากอนจูเกตกัน ดูดกลืนแสงที่ความยาวคลื่นมากขึ้น และสำ้าไม่เดลกุที่มีพันธะเดี่ยวสลับกับพันธะคู่มากขึ้นจะทำให้ความยาวของ การเกิดคอนจูเกชันเพิ่มขึ้นด้วย ดังตัวอย่างเช่น dimethylpolyenes ที่มีจำนวน  $n = 3, 4$  และ  $5$  ตามลำดับ ดังแสดงในรูปที่ 1.10 เมื่อค่า  $n$  เพิ่มมากขึ้นความยาวของ การเกิดคอนจูเกชันจะเพิ่มขึ้นทำให้เกิดการดูดกลืนแสงที่ความยาวคลื่นมากขึ้น ซึ่งผลที่เกิดขึ้นนี้สามารถอธิบายโดยการใช้ molecular orbital theory ได้ว่าเมื่อความยาวของ การเกิดคอนจูเกชันเพิ่มขึ้นจะทำให้ HOMO-LUMO energy gap เข้ามาอยู่ใกล้กันมากขึ้น ทำให้อิเล็กตรอนใช้พลังงานในการเกิด HOMO-LUMO transition ลดลง ดังแสดงในรูปที่ 1.11



รูปที่ 1.11 สเปกトラการดูดกลืนแสงของ dimethylpolyenes,  $\text{H}_3\text{C}-[\text{CH}=\text{CH}-]_n-\text{CH}_3$   
 (a)  $n=3$ ; (b)  $n=4$ ; (c)  $n=5^{20}$



รูปที่ 1.12 การเปรียบเทียบ  $\pi \rightarrow \pi^*$  energy gap ในการเพิ่มความยาวของการเกิดคอนจูเกชัน<sup>20</sup>

นอกจากดำเนินการของสเปกตรราจะให้ข้อมูลเกี่ยวกับการเกิดคณูเกชั่นภายในโนมูลแล้ว ความเข้มของสเปกตรายังให้ข้อมูลเกี่ยวกับความเข้มข้นของสารที่ใช้ในการวัด ซึ่งความสัมพันธ์ระหว่างความเข้มของการดูดกลืนแสง (Absorbance, A) กับความเข้มข้น (c) เป็นไปตามกฎของ Beer-Lambert ดังแสดงในสมการที่ (1.1 และ 1.2)

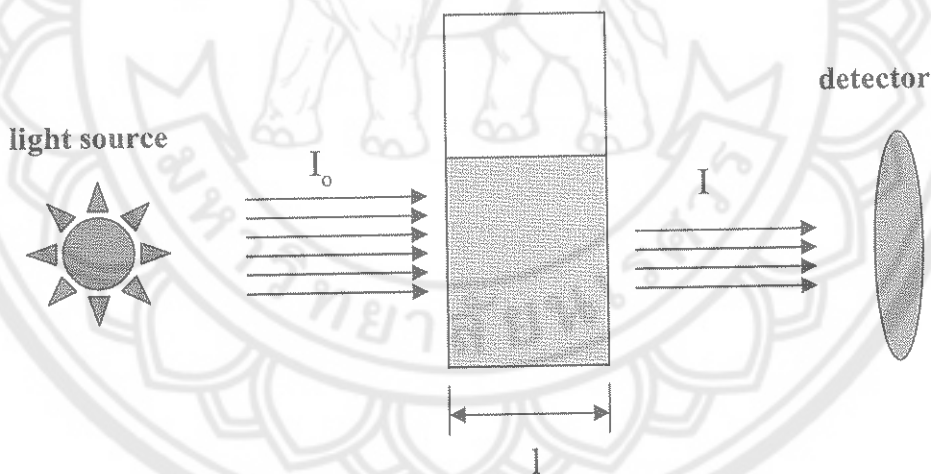
$$A(\lambda) = \log I_\lambda/I_\lambda^0 = -\log T(\lambda) \quad (1.1)$$

$$T(\lambda) = I_\lambda^0/I_\lambda$$

โดยที่  $A(\lambda)$  คือ absorbance,  $T(\lambda)$  คือ transmittance,  $I_\lambda^0$  คือ แสงที่ให้เข้าไป และ  $I_\lambda$  คือ แสงที่ส่องผ่านออกมานอก

$$A(\lambda) = \log I_\lambda/I_\lambda^0 = \varepsilon(\lambda)lc \quad (1.2)$$

โดยที่  $\varepsilon(\lambda)$  คือค่า molar absorption coefficient ซึ่งขึ้นอยู่กับสมบัติเฉพาะตัวของสารนั้นๆ ( $Lmol^{-1}cm^{-1}$ ),  $l$  คือ ความยาวของเซลล์ตัวอย่าง (cm) และ  $c$  คือ ความเข้มข้น ( $molL^{-1}$ )



รูปที่ 1.13 แสดงการขยายแสงผ่านสารตัวอย่าง

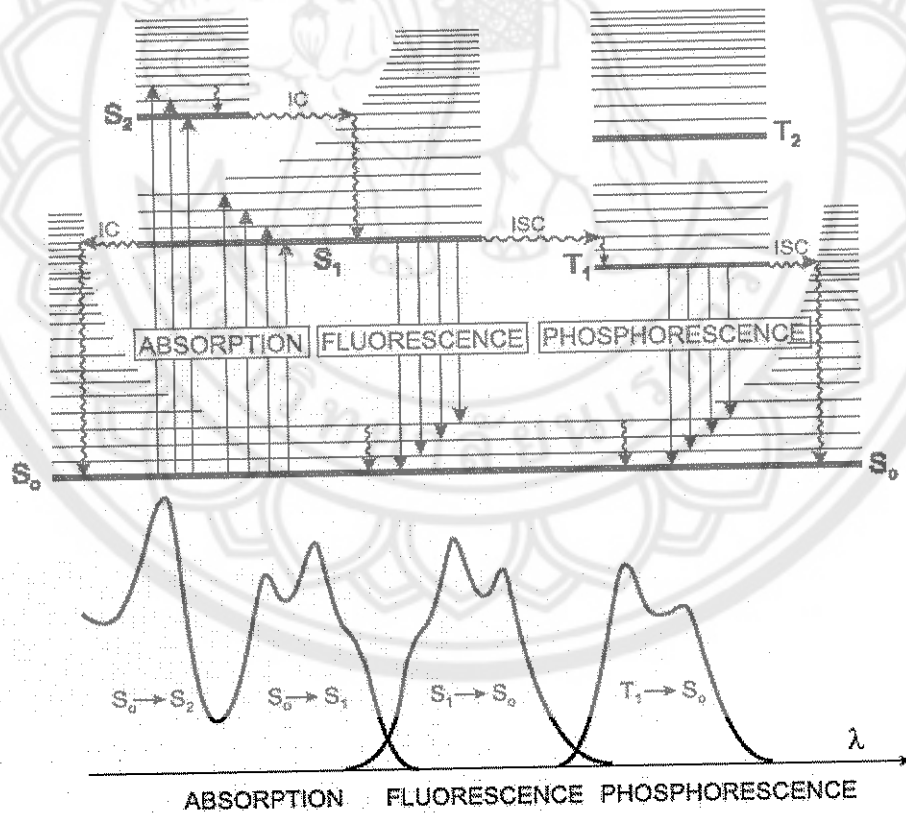
เมื่อนำสารตัวอย่างใส่ในเซลล์ที่ทำจากภาชนะ แล้ววางในบริเวณไอล์ฟแล่งสำเนิดแสง สารตัวอย่างจะดูดกลืนรังสี หรือแสงบางส่วนไว้ แสงที่ไม่ดูดกลืนจะผ่านออกมายังเครื่องวัดแสง เครื่องวัดแสงจะทำการวัดปริมาณแสงที่ออกมานะ โดยการหักล้างกับปริมาณของแสงก่อนดูดกลืน จากนั้นจะทำการประมวลผลเป็นสเปกตรัม ซึ่งแสดงความสัมพันธ์ระหว่างค่าการดูดกลืนแสง (absorbance) และค่าความยาวคลื่น

#### 1.4.2 เทคนิคในการวิเคราะห์

ส่วนประกอบของเครื่องยูวี-วิสิเบิล สเปกโตรสโคปี ที่ใช้ในการวิเคราะห์โดยทั่วไปจะประกอบด้วยส่วนต่างๆ ได้แก่ แหล่งกำเนิดแสง (light source), โมโนโครเมเตอร์ (monochromator), ส่วนที่วางสารตัวอย่างเพื่อวัด (cell compartment), เครื่องวัดแสง (radiation detector) และเครื่องขยายเสียงสัญญาณและประมวลผล (signal processors and data read out) สำหรับแหล่งกำเนิดแสงที่นิยมใช้กันอย่างแพร่หลาย ได้แก่ หลอดไฮโตรเจนหรือหลอดดิวทีเรียมความดันต่ำ และหลอดทังสเตน โดยที่หลอดไฮโตรเจนหรือหลอดดิวทีเรียมเป็นแหล่งกำเนิดแสงต่อเนื่องที่ดี ตึ้งแต่ช่วงความยาวคลื่นประมาณ 160-360 nm และสำหรับหลอดทังสเตน จะประกอบด้วยลวดทังสเตนอยู่ในหลอดสูญญากาศ ซึ่งให้แสงที่มีความยาวคลื่นตั้งแต่ช่วงยูวีไกล ช่วงแสงที่มองเห็นได้ จนถึงช่วงอินฟราเรดใกล้ (near IR) สำหรับโมโนโครเมเตอร์เป็นชิ้นส่วนสำคัญในการกำหนดคุณภาพของเครื่อง เพราะเป็นส่วนที่ใช้ควบคุมแสงโดยจะทำให้แสงที่ออกมากจากต้นกำเนิดแสง ซึ่งประกอบด้วยแสงที่มีความยาวคลื่นต่างๆ ให้เป็นแสงที่มีความยาวคลื่นเดียว ซึ่งเป็นแบบแสงแคบๆ ในช่วงแสงที่มองเห็นได้อาจใช้ปริซึมแก้ว ส่วนในช่วงยูวี จำเป็นต้องใช้ปริซึมที่ทำด้วยควอตซ์ สำหรับเซลล์ที่บรรจุสารตัวอย่างและสารเปรียบเทียบ แล้วให้นำไปใส่ไว้ที่วางสารตัวอย่างเพื่อเตรียมวัด ซึ่งส่วนนี้จะมีฝ้าปิดเพื่อกันแสงจากภายนอก และถูกกันออกหากส่วนที่เป็นอิเล็กทรอนิกส์และระบบแสง เครื่องที่ใช้สำหรับวัดแสงนั้นมีด้วยกันหลายแบบ ซึ่งแต่ละแบบอาจแตกต่างกันบ้างที่ความกว้างของช่วงคลื่นแสงที่สามารถตรวจสอบได้ ความเร็วของการตอบสนองต่อแสง สภาพไวของ การรับแสง เป็นต้น และสำหรับเครื่องขยาย-แยกสัญญาณและประมวลผลสัญญาณที่ได้จากเครื่องวัด จะนำไปเข้ากระบวนการของระบบอิเล็กทรอนิกส์ เช่น ขยายสัญญาณให้มากขึ้น หรืออาจเปลี่ยนสัญญาณ D.C. เป็น A.C. หรือ A.C. เป็น D.C. อาจมีการกรองสัญญาณที่ไม่ต้องการออกไปหรือนำสัญญาณที่ได้ไปแยกออก เป็นต้น สำหรับอุปกรณ์บันทึกสัญญาณหลังจากที่ลำแสงความยาวคลื่นเดียวผ่านสารที่ต้องการวัดการดูดกลืนแล้ว จะไปตกกระทบที่อุปกรณ์รับสัญญาณ ซึ่งจะให้ข้อมูลการดูดกลืนแสงออกมานอกจากนี้ยังอาจแบ่งเครื่องยูวี-วิสิเบิล สเปกโตร สโคปีออกเป็นประเภทใหญ่ๆ ได้ 2 ประเภท คือ สเปกโตรโฟโตมิเตอร์แบบลำแสงเดียว และสเปกโตรโฟโตมิเตอร์ประเภทลำแสงคู่ สำหรับแบบลำแสงเดียว เมื่อลำแสงออกจากแหล่งกำเนิดแสง จะผ่านเลนส์ โมโนโครเมเตอร์ สารตัวอย่าง แล้วเข้าสู่อุปกรณ์ที่ตรวจรับสัญญาณ ตลอดเส้นทางของลำแสงนี้มีลำแสงเพียงลำแสงเดียว สำหรับแบบลำแสงคู่ เมื่อลำแสงเดียวผ่านโมโนโครเมเตอร์ จะถูกอุปกรณ์ตัดลำแสงแยกออกเป็นลำแสงสองลำแสงที่มีความเข้มข้นเท่ากันตลอด เมื่อลำแสงทั้งสองนี้ไปตกกระทบไฟฟ้าทิว (phototube) ความแตกต่างของความเข้มจะถูก拿来เป็นสัญญาณส่งต่อไปยังอุปกรณ์บันทึกสัญญาณต่อไป<sup>18</sup>

### 1.4.3 หลักการฟลูออร์สเซนต์ สเปกตรอสโคปี (Fluorescence Spectroscopy)

การเปล่งแสง (luminescence) ของโมเลกุลมีหดality ชนิด ซึ่งขึ้นอยู่กับแหล่งของพลังงานที่ทำให้โมเลกุลสามารถเคลื่อนที่ไปสู่สถานะกระตุ้น (excited state) ได้ เช่น เมื่อ โมเลกุลได้รับพลังงานไฟฟoton ของการแผ่รังสีแม่เหล็กไฟฟ้า ทำให้เกิดการเรืองแสงปรากฏการณ์นี้เรียกว่า photoluminescence ซึ่งกระบวนการนี้เป็นกระบวนการไปสู่สถานะกระตุ้นและการกลับสู่สถานะพื้น (excitation and de-excitation process) โดยมีไฟฟoton เข้าไปเกี่ยวข้อง คือมีการดูดกลืนไฟฟoton และให้ไฟฟoton ออกมานิ่งกระบวนการนี้ยังสามารถแบ่งได้เป็น 2 แบบ ได้แก่ การวาวแสง (fluorescence) และการเรืองแสง (phosphorescence) โดยทั้งสองกระบวนการนี้แตกต่างกันที่กระบวนการกลับสู่สถานะพื้น นอกจากนี้ถ้าโมเลกุลของสารใช้พลังงานที่ได้จากปฏิกิริยาเคมีแล้วเกิดการเรืองแสงจะเรียกว่า chemical luminescence หรือ chemiluminescence และถ้าโมเลกุลได้รับพลังงานจากอนุภาคที่มีพลังงานสูงไปเป็นโมเลกุลที่สถานะกระตุ้นแล้วเกิดการเรืองแสงจะเรียกว่า radio luminescence การจะเข้าใจถึงการเกิดกระบวนการกระตุ้นเนื่องจากการดูดกลืนพลังงานและกระบวนการแผ่รังสีให้ชัดเจน สามารถศึกษาได้จากแผนภาพแสดงระดับพลังงาน Perrin-Jablonski diagram<sup>17</sup> ดังแสดงในรูปที่ 1.13

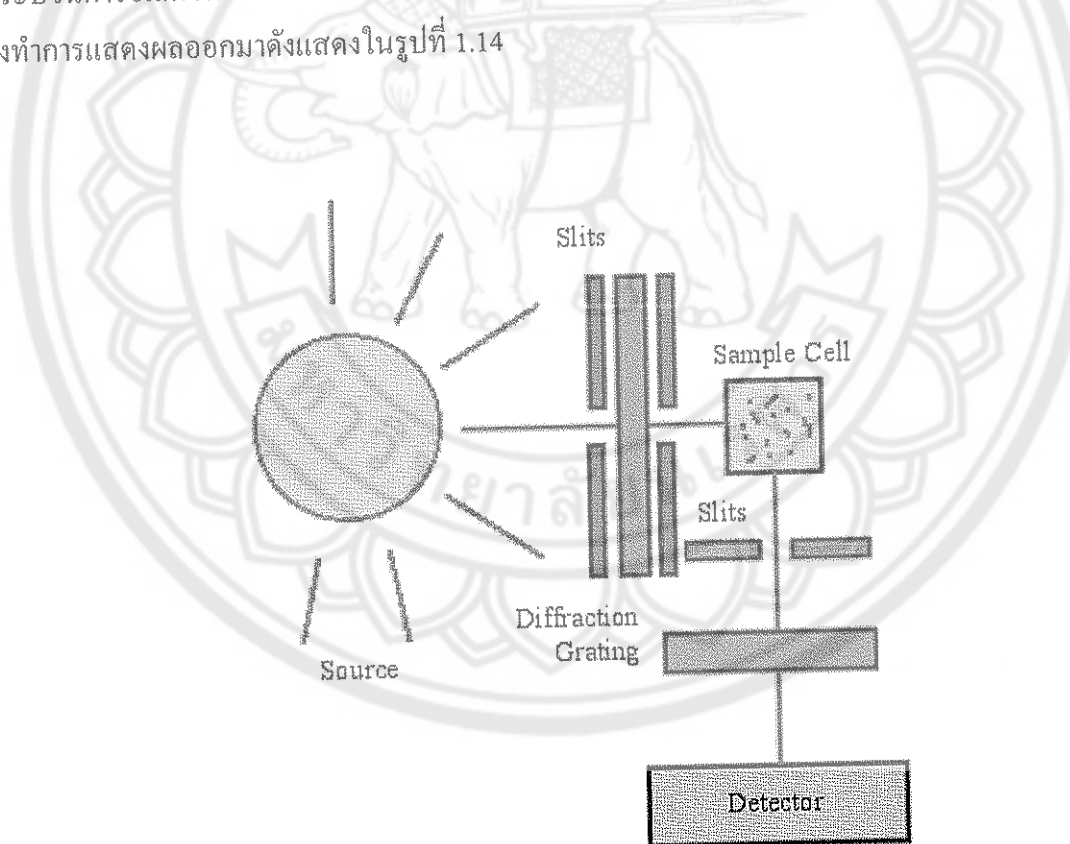


รูปที่ 1.14 แผนผัง Perrin-Jablonski แสดงการเปลี่ยนแปลงระดับพลังงานเมื่อสารเกิดการดูดกลืนและ cavity แสง สเปกตรการดูดกลืนและ cavity แสงที่สอดคล้องกับกระบวนการต่างๆ ได้แสดงไว้ต่อ แผนผัง นอกจากนี้ยังแสดงการวิธีการกลับสู่สถานะพื้นแบบอื่นๆ ด้วย

เมื่อโมเลกุลซึ่งอยู่ที่สถานะพื้น (ground state; singlet,  $S_0$ ) ดูกลืนไฟตอนเข้าไป มีผลทำให้อิเล็กตรอนกิดการเปลี่ยนแปลงระดับพลังงาน จากสถานะพื้น ( $S_0$ ) ไปยังสถานะกระตุ้น ซึ่งอาจจะเข้าไปอยู่ในสถานะกระตุ้น  $S_2$  หรือ  $S_1$  (excited singlet state) ก็ได้ ขึ้นอยู่กับพลังงานของการกระตุ้น (excitation energy) นอกจากนี้ในแต่ละสถานะกระตุ้นยังประกอบไปด้วยระดับพลังงานของการสั่นย่ออย่าอีก ดังนั้นโมเลกุลจึงสามารถเข้าไปอยู่ในระดับพลังงานของการสั่นเหล่านี้ได้ด้วย โมเลกุลที่อยู่สถานะกระตุ้นต้องมีกลไกต่างๆ ที่จะลดพลังงาน (de-excitation) ที่มากเกินพอ เพื่อกลับลงมาสู่สถานะพื้น ซึ่งกระบวนการต่างๆ ที่เป็นไปได้ แสดงไว้ในรูปที่ 1.13 ถ้าโมเลกุลที่ถูกกระตุ้นอยู่ในสารละลาย นั่นคือมีโมเลกุลอื่นๆ ประปนอยู่ โมเลกุลที่มีพลังงานมากจะสูญเสียพลังงานโดยการชนกับโมเลกุลที่อยู่ข้างเคียงทำให้โมเลกุลที่สถานะกระตุ้นจะกลับสู่ระดับพลังงานการสั่นที่มีค่าต่ำที่สุดของ  $S_2$  หรือ  $S_1$  ขบวนการนี้เรียกว่า vibrational relaxation โมเลกุลที่อยู่ในสถานะกระตุ้น  $S_2$  ยังสามารถเกิดการลดระดับพลังงานไปยัง  $S_1$  ซึ่งเกิดขึ้นได้ค่อนข้างง่าย เรียกกระบวนการนี้ว่า internal conversion (IC) จากนั้นโมเลกุลสามารถสูญเสียพลังงานโดยการชนกับโมเลกุลข้างเคียง จนกระทั่งโมเลกุลไปอยู่ที่ระดับพลังงานการสั่นต่ำสุดของ  $S_1$  จากนั้นสามารถเกิดเหตุการณ์ต่อไปได้อีกหลายแบบ คือ โมเลกุลกลับสู่สถานะพื้น โดยการชนกับโมเลกุลข้างเคียงเกิดการถ่ายพลังงานอกมาในรูปของความร้อน แต่ถ้าโมเลกุลกลับสู่สถานะพื้นโดยการถ่ายไฟตอนออกไป เรียกขบวนการนี้ว่า fluorescence หรือถ้าโมเลกุลเปลี่ยนระดับพลังงานจาก singlet state ( $S_0$ ) ไปยัง triplet state ( $T_1$ ) เรียกว่า intersystem crossing (ISC) ซึ่งกระบวนการนี้ทำให้เกิดการเปลี่ยนทิศทางการหมุน (spin) ของอิเล็กตรอน จากนั้นเกิด vibrational relaxation ทำให้โมเลกุลไปอยู่ที่ระดับต่ำสุดของ  $T_1$  สำหรับสารบางชนิดจะเกิดการเปลี่ยนจาก triplet state ไปยังสถานะพื้นโดยการถ่ายไฟตอนออกไป ขบวนการนี้เรียกว่า phosphorescence ตัวอย่างスペกตรารัศมีคลื่นและถ่ายแสงที่สอดคล้องกับกระบวนการแบบต่างๆ ได้แสดงไว้ได้แพนผังพลังงาน เนื่องจากการวิวแสงและการเรืองแสงแตกต่างกันที่กระบวนการกลับมาสู่สถานะพื้น ทำให้มีผลอย่างมากต่อเวลาที่ใช้ในการกลับสู่สถานะพื้น (life time) โดย fluorescence เป็นกระบวนการที่เกิดรวดเร็วมาก ใช้เวลาประมาณ  $10^{-9}$  –  $10^{-7}$  วินาที ส่วน phosphorescence สามารถเห็นการเรืองแสงของสารตัวอย่างได้หลังจากทำให้เกิดสถานะกระตุ้น ซึ่งใช้เวลาในการเกิดที่ช้ากว่ามาก ประมาณ  $10^{-3}$  –  $10$  วินาที

#### 1.4.4 เทคนิคในการวิเคราะห์<sup>18</sup>

ส่วนประกอบของเทคนิคฟลูออเรสเซนต์ สเปกโตรสโคปี ประกอบด้วย แหล่งกำเนิดแสง (light source) เนื่องจากเทคนิคนี้ต้องการแสงที่มีความเข้มสูง เพราะสภาพไวของเทคนิคนี้ขึ้นอยู่กับความเข้มแสง ดังนั้นหลอดกำเนิดแสงที่นิยมใช้กันคือ Xenon-arc lamp และ Mercury-arc lamp สำหรับฟลิตเตอร์ และ ไมโนโครเมเตอร์ (filter and monochromator) โดยทั่วไปจะใช้ชุดฟลิตเตอร์ หรือใช้ interference filter เพื่อตัดแสงบางส่วนที่ไม่ต้องการออก หรืออาจใช้เกรตติง (grating) ซึ่งสามารถเลือกใช้ความยาวคลื่นที่ต้องการได้ ในเทคนิคนี้จะมีสอง ไมโนโครเมเตอร์ คือ excitation monochromator และ emission monochromator เชลล์ที่ใส่สารตัวอย่าง (sample cell หรือ cuvette) เป็นเชลล์สี่เหลี่ยมด้านเท่า ทำด้วย ภาชนะที่ใส่ห้อง 4 ด้าน ส่วนเครื่องวัดฟลูออเรสเซนต์ (detector) เนื่องจากความเข้มของแสงฟลูออเรสเซนต์ที่จะวัดโดยทั่วไปมีความเข้มต่ำ จำเป็นต้องมีการขยายสัญญาณที่วัดได้ด้วยหลอดไฟโคมัติพลาญเรอร์หรืออาจใช้ไดโอดอาร์เรย์เดกเตอร์ (diode array detector) ส่วนเครื่องบันทึกสัญญาณและ เครื่องประมวลผล (signal processors and data read out) สัญญาณที่ได้จากเครื่องวัดจะผ่านเข้า กระบวนการอิเล็กทรอนิกส์ เช่น คิจิตัลมาสเตอร์ พรินเตอร์ หรือ ไมโครโปรเซสเซอร์ เป็นต้น จากนั้น จึงทำการแสดงผลออกมาดังแสดงในรูปที่ 1.14



รูปที่ 1.15 แสดงการฉายแสงผ่านสารตัวอย่างของเทคนิคฟลูออเรสเซนต์สเปกโตรสโคปี

## บทที่ 2

### การดำเนินการวิจัย

เตรียมโพลิเมอร์ในระบบตัวทำละลายชนิดต่างๆ เพื่อทำการศึกษาการแตกตัวของโพลิเมอร์ MEH-PPV Aggregates ในสารละลาย โดยการวัดค่าการคูดกลืนแสงและการคายแสงเมื่อทำการเปลี่ยนแปลงอุณหภูมิขณะที่ทำการวัด โดยการนำ MEH-PPV มาละลายในตัวทำละลาย 3 กลุ่ม คือ กลุ่มแรกละลายในแอลกอฮอล์ชนิดต่างๆ ที่มีความเป็นกรด-ด่างกัน ได้แก่ บีวิทานอล, เอกซานอล และ ออแกนอล ให้มีความเข้มข้นประมาณ  $0.3 \text{ mg/mL}$  เตรียมโดยใช้วิธีการซั่งน้ำหนักโดยใช้เครื่องซั่ง 5 ตัวແเน่ง เทียบกับความหนาแน่นของตัวทำละลาย นำไปโซนิคейต์ (sonicate) โดยใช้เครื่อง Sonicator (Ultrasonic Steri - Cleaner) นานประมาณ 5-10 นาที และทำการเจือจางสารละลายให้มีความเข้มข้น 0.01 และ  $0.025 \text{ mg/mL}$  ส่วนกลุ่มที่สองละลายโดยทำการผสมตัวทำละลายที่ดี (good solvent) ได้แก่ คลอโรฟอร์ม, โทลูอิน และ ไพริดีน กับตัวทำละลายที่ไม่ดี (poor solvent) คือ ไซโคลເຊເຊັນ โดยผสมกันในอัตราส่วนโดยปริมาตรต่อปริมาตร 80:20 ให้มีความเข้มข้น  $0.002 \text{ mg/mL}$  และกลุ่มที่สามจะทำการละลายโพลิเมอร์ MEH-PPV ลงในตัวทำละลาย โทลูอินและไพริดีนที่ความเข้มข้นต่างๆ ตั้งแต่  $0.001 \text{ mg/mL}$  ถึง ความเข้มข้น  $0.3 \text{ mg/mL}$

นำสารตัวอย่างที่เตรียมได้มาทำการวัดค่าการคูดกลืนแสงโดยใช้เครื่อง UV-visible spectrometer diode array (Analytikjena Specord 100) โดยเลือกวัดในช่วง  $200 - 900 \text{ nm}$  และทำการวัดค่าการคายแสง (emission spectra) โดยใช้เครื่อง luminescence spectrometer (Perkin Elmer Luminescence LS55) โดยใช้ พลังงานการกระตุ้นที่ความยาวคลื่น (excitation wavelength) ที่  $400$  และ  $500 \text{ nm}$  โดยทำการเปลี่ยนแปลงอุณหภูมิขณะที่ทำการวัดเพื่อศึกษาพฤติกรรมการแตกตัวของ MEH-PPV Aggregates ที่เข้ามาจับตัวกันในสารละลาย ต่างๆ โดยทำการวัดค่าการคูดกลืนแสงและการคายแสงที่อุณหภูมิตั้งแต่  $10 - 95^\circ\text{C}$  จากนั้นทำการลดอุณหภูมิลงจาก  $80-10^\circ\text{C}$  โดยอุณหภูมิที่ทำการวัดจะขึ้นอยู่กับจุดเดือดของตัวทำละลายที่ใช้ ซึ่งจะทำการวัดอุณหภูมิจากสารละลายโดยตรงโดยใช้เทอร์โมมิเตอร์แบบดิจิตอล

### บทที่ 3

#### ผลการทดลอง และวิเคราะห์การทดลอง

ในการวิจัยครั้งนี้ได้ทำการศึกษาพฤติกรรมการแตกตัวของ MEH-PPV aggregates โดยเลือกใช้ตัวทำละลายแอลกอฮอล์ชนิดต่างๆที่มีความเป็นขึ้นที่ต่างกันได้แก่ บีวานอล, เอกซานอล และออกทาโนล และตัวทำละลายผสมระหว่าง คลอโรฟอร์ม, โทลูอิน และ ไพริดีน กับ 80% โซดาเซกเซน ซึ่งจากการวิจัยที่ผ่านมาพบว่าในตัวทำละลายแอลกอฮอล์ชนิดต่างเหล่านี้จะมีการขัดเรียงตัวของสายโซ่โพลีเมอร์และการเกิดการเข้ามายังตัวกันเกิด aggregation ได้ต่างกันทำให้สมบัติการดูดกลืนแสงและการคายแสง แต่ต่างกัน<sup>21</sup> และยังพบอีกว่าในระบบของตัวทำละลายผสมทุกระบบที่เลือกใช้ในการวิจัยนั้นที่อัตราส่วนนี้ตัวทำละลายผสมเหล่านี้จะเกิดการเข้ามายังกันของ MEH-PPV เรียบร้อยแล้ว<sup>22</sup> ทำให้มีสมบัติการดูดกลืนและการคายแสงแตกต่างไปชั่นกัน จึงทำให้สามารถตรวจสอบการเข้ามายังกันและการแตกตัวออกจากกันของโมเลกุลของโพลีเมอร์ได้จากการเปลี่ยนแปลงสมบัติทางแสง นั่นคือ การเกิด red shift และการลดลงของ quantum yield สมบัติทางกายภาพพื้นฐานของตัวทำละลายเหล่านี้ได้แสดงไว้ในตารางที่ 3.1

ตารางที่ 3.1 แสดงค่า Density, Dielectric constant, จุดเดือด, จุดหลอมเหลว และความสามารถในการละลาย<sup>23</sup>

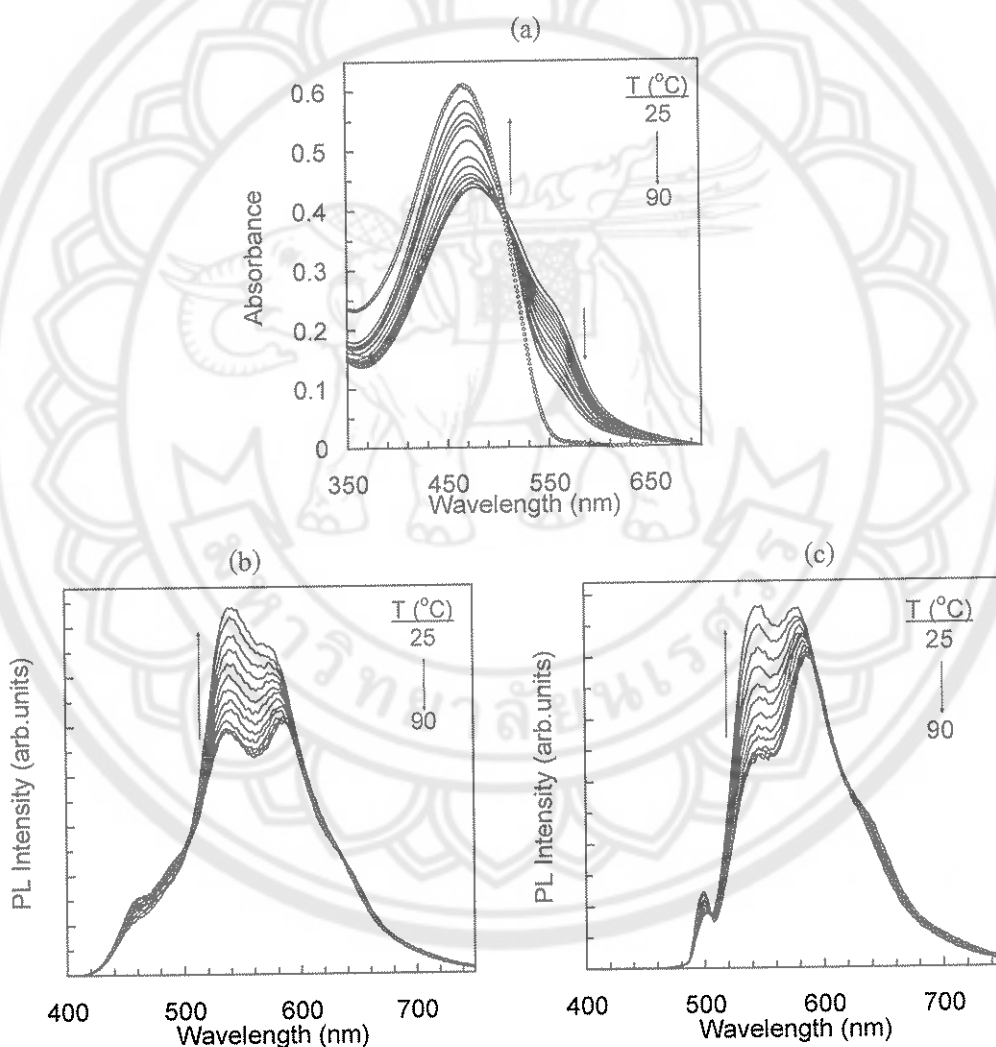
ชนิดของตัวทำละลาย	Density (g/mL)	Dielectric constant	จุดเดือด (°c)	จุดหลอมเหลว (°c)	ความสามารถในการละลาย
คลอโรฟอร์ม	1.50	4.8	61.7	-63.6	++++++
โทลูอิน	0.87	2.4	110.6	-95.0	+++++
ไพริดีน	0.98	13.3	115.2	-41.6	++++
โซดาเซกเซน	0.78	2.0	80.7	6.5	+
บีวานอล	0.81	17.8	117.7	-88.6	+++
เอกซานอล	0.81	13.3	157.0	-44.6	+++
ออกทาโนล	0.83	10.3	195.2	-15.0	+++++

หมายเหตุ เครื่องหมาย + มาก หมายถึงละลายได้ดี

โดยทำการวัดค่าการดูดกลืนแสงและการคายแสงของสารละลายในระบบต่างๆข้างต้น โดยการเปลี่ยนแปลงอุณหภูมิขั้นที่ทำการวัดเพื่อศึกษาพฤติกรรมการแตกตัวของ MEH-PPV Aggregates ดังนี้

### 3.1 พฤติกรรมการแตกตัวของ MEH-PPV Aggregates ในตัวทำละลายและกอ肖ล์

จากคุณสมบัติความเป็นข้าวและค่าความสามารถในการละลาย MEH-PPV ของเมอกกอ肖ล์ชนิดต่างๆ ในตารางที่ 3.1 พบว่าความเป็นข้าวและความสามารถในการละลายจะลดลงจาก ออกร้านออล เสกษา นอล มาชงบิวทานออล ดังนั้นสายโซ่ไม่เกลุกของ MEH-PPV ในตัวทำละลายเหล่านี้จึงมีรูปร่างที่แตกต่าง กันดังแสดงในรูปที่ 1.5 และน่าจะส่งผลให้เกิดการเข้าจับกันแบบ aggregates ซึ่งการเกิด aggregate นั้น สามารถดูได้จากตำแหน่งพิกที่เกิดขึ้นในสเปกตรการดูดกลืนแสงที่ประมาณ 550 nm และตำแหน่งพิกที่ เกิดขึ้นในสเปกตรการคายแสงที่ประมาณ 585 nm และเมื่อต้องการศึกษาการแตกตัวของ aggregate ที่ เกิดขึ้นนั้นสามารถทำการศึกษาได้โดยทำการเพิ่มอุณหภูมิให้กับระบบขณะทำการ โดยจะพบว่ารูปร่าง สเปกตรของการดูดกลืนแสงและการคายแสงจะเปลี่ยนแปลงไป



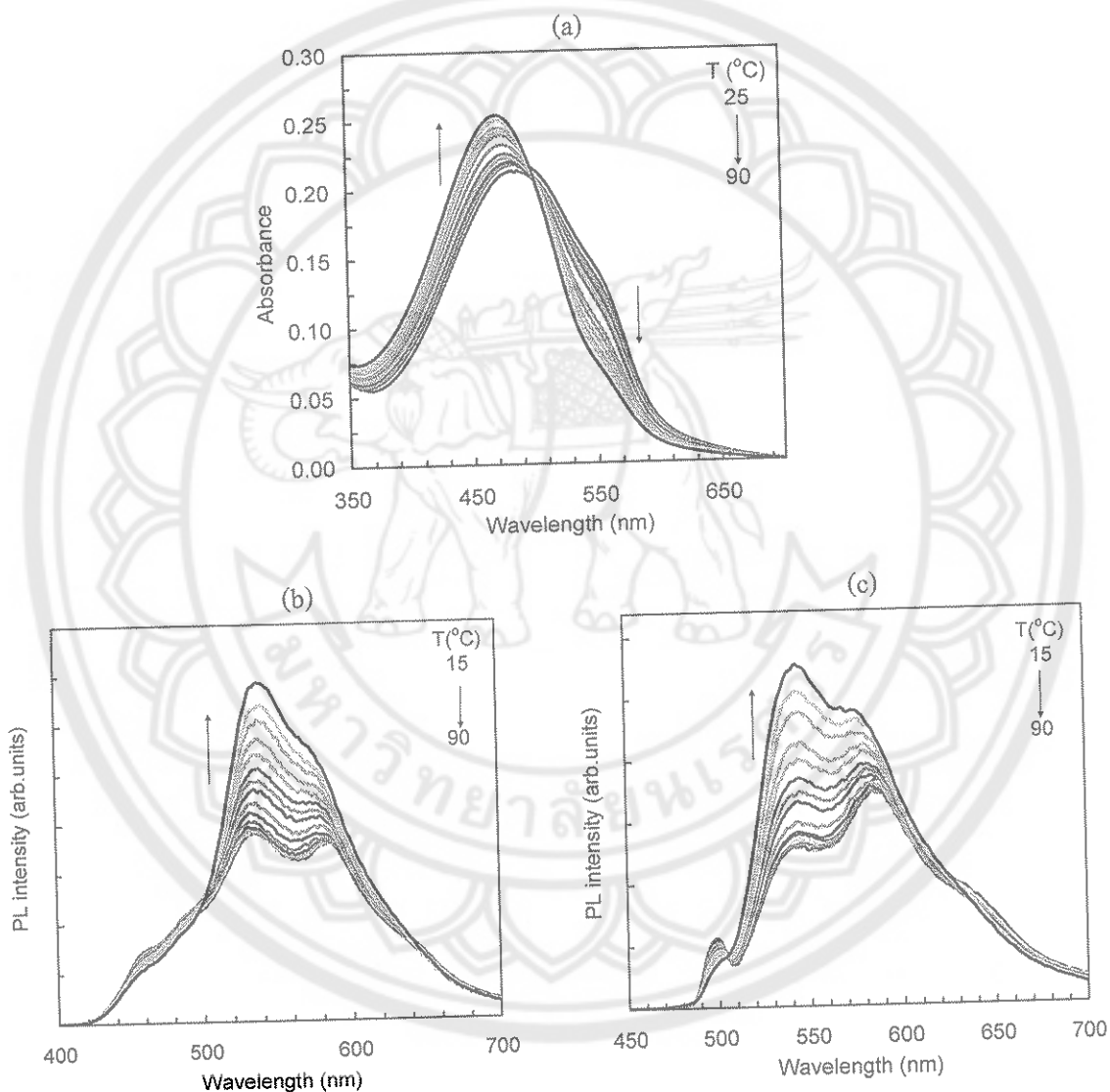
รูปที่ 3.1 (a) สเปกตรการดูดกลืนแสง และ (b,c) สเปกตรการคายแสง ของ MEH-PPV ในตัวทำละลาย ออกร้านออล โดยใช้พลังงานการกระตุ้นแสงที่ความยาวคลื่น (b) 400 nm และ (c) 500 nm เมื่อเพิ่ม อุณหภูมิที่ความเข้มข้น 0.025 mg/mL

รูปที่ 3.1 แสดงสเปกตรการดูดกลืนแสงและการคายแสงของ MEH-PPV ในอุณหภูมิ พบว่า เมื่อทำการวัดสเปกตรการดูดกลืนแสง สเปกตราระดับต่ำที่ได้จะมีลักษณะแตกต่างจากสเปกตราระดับต่ำของ MEH-PPV โดยไม่เกิด aggregate แต่เมื่อเพิ่มอุณหภูมิขึ้น 560 nm ซึ่งเป็นการดูดกลืนแสงโดยโคล โนฟอร์ของ aggregate นี้จะทำการเกิด aggregate ไม่เกิดของ MEH-PPV หลายๆ ไม่เกิดจะเข้ามาหากันแล้วเกิดการซ้อนทับกัน ทำให้เกิด π-π communication ระหว่างไม่เกิด เป็นผลให้ความยาวของการค่อนขุนเกิดมีความยาวเพิ่มขึ้น ตำแหน่งการดูดกลืนแสงสูงสุดเดือนไปในทิศทางพังงานตัว เมื่อทำการเพิ่มอุณหภูมิจาก 25-90 °C พบว่าที่อุณหภูมิ 25 °C สเปกตรามีตำแหน่งการดูดกลืนแสงสูงสุดอยู่ที่ประมาณ 480 nm และ เมื่อค่อยๆ เพิ่มอุณหภูมิขึ้น พบว่าตำแหน่งการดูดกลืนแสงสูงสุดค่อยๆลดลง คือ เมื่อเพิ่มอุณหภูมิไปถึง 70 °C ตำแหน่งการดูดกลืนแสงสูงสุดอยู่ที่ประมาณ 470 nm นอกจากนี้ยังพบอีกว่าพีคไหล่ที่ตำแหน่ง ประมาณ 560 nm ค่อยๆ ลดลง ขณะที่ค่าการดูดกลืนแสงสูงสุดที่ประมาณ 470 nm ค่อยๆเพิ่มขึ้น

ต่อมาได้ทำการวัดการคายแสงของอุกทานอุล เพื่อเป็นการยืนยันการเกิด aggregate ว่ามีโคล โนฟอร์อิกนิดหนึ่งในสารละลาย โดยให้ความยาวคลื่นของการกระตุ้นที่ 400 และ 500 nm พบว่ามีลักษณะของสเปกตรารการคายแสงที่ไม่เหมือนกัน ซึ่งสเปกตราระดับต่ำของความยาวคลื่นของการกระตุ้นที่ 400 และ 500 nm สามารถแยกความแตกต่างของไม่เกิด aggregate ออกจากกัน อย่างชัดเจน กล่าวคือ ที่อุณหภูมิ 25 °C ความยาวคลื่นของการกระตุ้นที่ 400 nm ปรากฏพีคของไม่เกิด เดียวขึ้นที่ 440 และ 540 nm ซึ่งต่ำกว่าพีคของการเกิด aggregate ที่ 590 nm แต่ที่ความยาวคลื่นของการกระตุ้น 500 nm ปรากฏพีคของไม่เกิดเดียวขึ้นที่ 550 nm พีคของการเกิด aggregate ที่ 590 และ 640 nm ซึ่งมีระดับความสูงที่แตกต่างกันมาก เมื่อค่อยๆ เพิ่มอุณหภูมิขึ้น พบว่าพีคที่ตำแหน่งของไม่เกิด เดียวและพีคของการเกิด aggregate ค่อยๆ เพิ่มขึ้นเหมือนกัน เพียงแต่พีคของไม่เกิดเดียวเพิ่มขึ้นได้สูงกว่า ทำให้ทราบว่าไม่เกิดเกิดการแยกออกจากกันของ aggregate เมื่อทำการเพิ่มอุณหภูมิสูงขึ้นเรื่อยๆ แต่พีคที่ปรากฏนั้นแตกต่างจากการศึกษาทั้งใน กลอโรฟอร์ม, โทลูอิน และไฟริดิน<sup>22</sup> ทำให้ทราบว่า ตำแหน่งของสองพีคนี้เกิดจาก การคายแสงของโคล โนฟอร์อิกนิดหนึ่งเพิ่มเติมมาจากโคล โนฟอร์ที่พบในตัวทำละลายที่ดี ซึ่งโคล โนฟอร์ชนิดนี้อาจเกิดจากการซ้อนทับกันของ π ออร์บิ托ภายในไม่เกิดของโพลิเมอร์ เนื่องจากการจัดเรียงตัวที่ค่อนข้างแน่นระหว่างในตัวทำละลายที่ไม่ดีเหล่านี้ สเปกตรารการคายแสงที่ได้มาจากการใช้พังงานแสงกระตุ้น มีค่าแตกต่างกันในแต่ละอุณหภูมิที่เห็นได้ชัดเจน คือ มีการเปลี่ยนแปลงสัดส่วนของโคล โนฟอร์ทั้งสองชนิดเมื่อเปลี่ยนแปลงอุณหภูมิ ซึ่งประกอบด้วย ลักษณะ สเปกตรารการคายแสงของห้องสองโคล โนฟอร์รวมกัน

เพื่อเป็นการยืนยันผลการทดลองที่ผ่านมาจึงได้ทำการศึกษาในสารละลายเชกชานออลต่อ โดย การวัดสเปกตรารการดูดกลืนแสงและการคายแสงของเชกชานออล ดังแสดงในรูปที่ 3.2 พบว่าเมื่อทำการเพิ่มอุณหภูมิจาก 25-90 °C พีคที่ได้มีลักษณะ เช่นเดียวกับในสารละลายอุกทานอุล แต่ความสามารถในการละลายของอุกทานอุลจะมากกว่า ซึ่งสังเกตได้จากพีคไหล่ของสเปกตรารการดูดกลืนแสงของเชก

ฐานอลมีระดับความสูง ซึ่งหมายถึงการเกิด aggregate มากกว่าของออกทานอล จากการเปลี่ยนแปลง อุณหภูมิ พนว่าที่อุณหภูมิ  $25^{\circ}\text{C}$  สเปกตรามีตำแหน่งการดูดกลืนแสงสูงสุดอยู่ที่ประมาณ  $490\text{ nm}$  และ เมื่อเพิ่มอุณหภูมิไปถึง  $90^{\circ}\text{C}$  เมื่อเพิ่มอุณหภูมิขึ้น ตำแหน่งการดูดกลืนแสงสูงสุดค่อยๆลดลง คือ เมื่อเพิ่มอุณหภูมิไปถึง  $90^{\circ}\text{C}$  ตำแหน่งการดูดกลืนแสงสูงสุดอยู่ที่ประมาณ  $470\text{ nm}$  นอกจากนี้ยังพบอีกว่าพีคใหม่ที่ตำแหน่งประมาณ  $550\text{ nm}$  ค่อยๆลดลงด้วย และค่าการดูดกลืนแสงสูงสุดที่ประมาณ  $470\text{ nm}$  ค่อยๆเพิ่มขึ้น แสดงว่าเกิด การแยกออกจากกันของโมเลกุลเมื่อทำการเพิ่มอุณหภูมิ



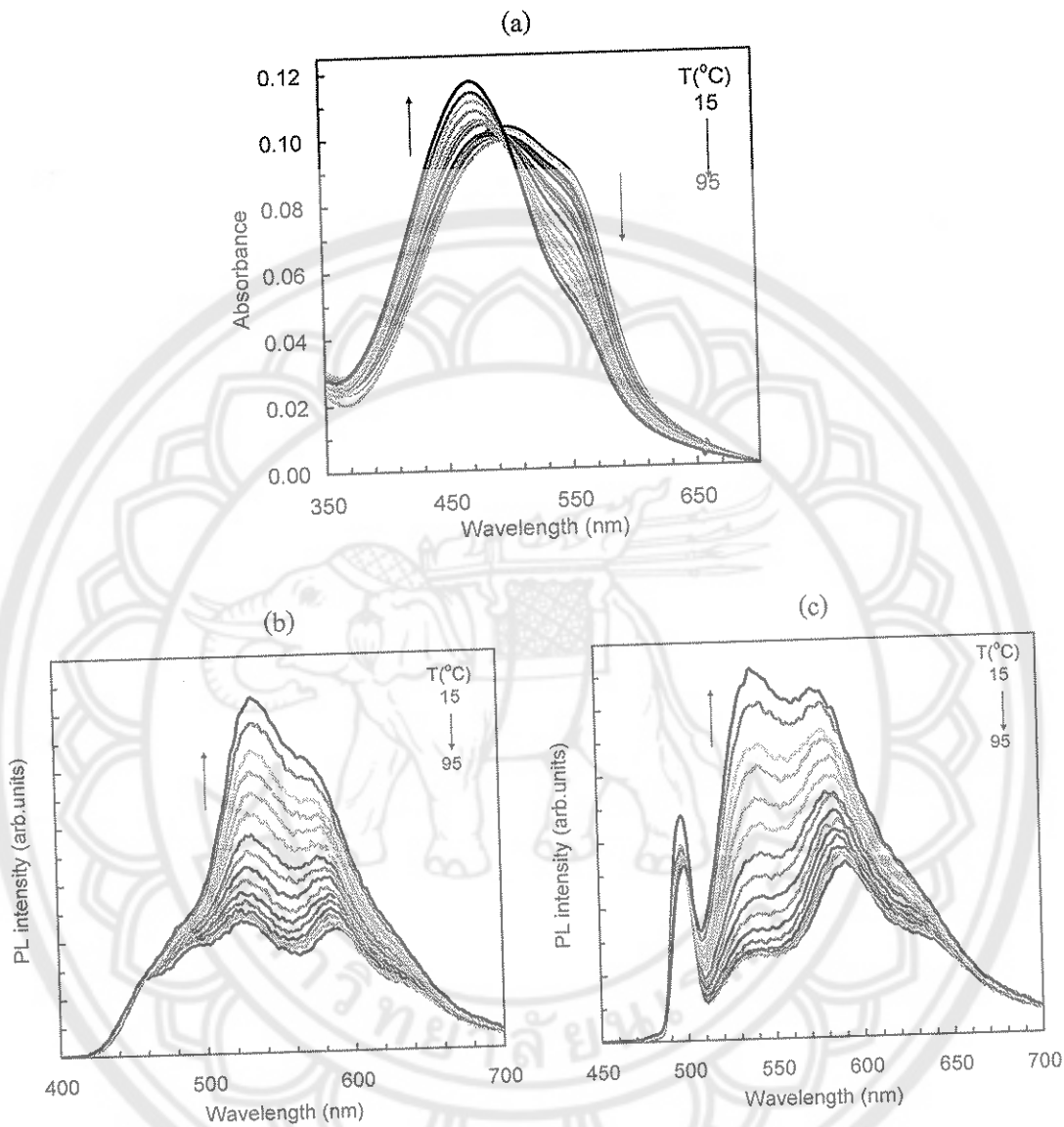
รูปที่ 3.2 (a) สเปกตรการดูดกลืนแสง และ (b,c) สเปกตราการคายแสง ของ MEH-PPV ในตัวทำละลาย เชกชานอล โดยใช้พลังงานการกระตุ้นแสงที่ความยาวคลื่น (b)  $400\text{ nm}$  และ (c)  $500\text{ nm}$  เมื่อเพิ่ม อุณหภูมิที่ความเข้มข้น  $0.025\text{ mg/mL}$

สำหรับการวัดการขยายแสง เมื่อให้ความยาวคลื่นของการกระตุ้นที่ 400 และ 500 nm มีลักษณะของสเปกตร้าที่แตกต่างกันเช่นเดียวกับผลการทดลองที่ได้ในสารละลายออกทานอล ซึ่งสเปกตราที่ดำเนินการที่ต่างกันน้อยย่างชัดเจน กล่าวคือ ที่อุณหภูมิ 15 °C ความยาวคลื่นของการกระตุ้นที่ 400 nm ปรากฏพีกของโมเลกุลเดี่ยวขึ้นตั้งแต่ช่วง 440-550 nm ซึ่งสูงกว่าพีกของการเกิด aggregate ที่ 580 nm แต่ความยาวคลื่นของการกระตุ้น 500 nm ปรากฏพีกของโมเลกุลเดี่ยวจะขึ้นที่ 540 nm พีกของการเกิด aggregate ที่ 590 และ 640 nm ซึ่งแตกต่างจากการกระตุ้นที่ 400 nm คือ ที่ระดับความสูงของพีกของการเกิด aggregate สูงกว่าพีกของโมเลกุลเดี่ยว เมื่อค่อยๆ เพิ่มอุณหภูมิขึ้นพบว่าพีกที่ดำเนินการของโมเลกุลเดี่ยวและพีกของการเกิด aggregate ค่อยๆ เพิ่มขึ้นเหมือนกัน แต่พีกของโมเลกุลเดี่ยวเพิ่มขึ้นจนถึงอุณหภูมิ 90 °C จะสูงกว่าพีกของการเกิด aggregate ทำให้ทราบว่าโมเลกุลเกิดการแยกออกจากกันเมื่อทำการเพิ่มอุณหภูมิสูงขึ้น

จากนั้นได้ทำการเพิ่มความเป็นขี้ของตัวทำละลายแออกซอลเพิ่มขึ้นอีกโดยทำการศึกษาในตัวทำละลายบวทานอลที่ละลาย MEH-PPV ได้ค่อนข้างมาก ซึ่งสเปกตรารการคุณลักษณะและรายการแสงแสดงดังในรูปที่ 3.3 พนว่าเมื่อทำการเพิ่มอุณหภูมิจาก  $15-95^{\circ}\text{C}$  พิกที่ได้มีลักษณะเข่นเดียวกับการทดลองในสารละลายออกทานอลและเซกชานอล แต่เมื่อเทียบความสามารถในการละลายของออกทานอล, เซกชานอล และบวทานอล พนว่าในบวทานอลมีความสามารถในการละลายได้น้อยที่สุด ซึ่งสังเกตได้จากพิกให้ล่องสเปกตรารการคุณลักษณะของบวทานอลที่สูงกว่า แสดงว่าในบวทานอลเกิด aggregate ได้มากกว่าด้วย จากการเปลี่ยนแปลงอุณหภูมิพบว่าที่อุณหภูมิ  $15^{\circ}\text{C}$  สเปกตรามีตำแหน่งการคุณลักษณะแสงสูงสุดอยู่ที่ประมาณ  $510\text{ nm}$  และเมื่อค่อยๆเพิ่มอุณหภูมิขึ้น ตำแหน่งการคุณลักษณะแสงสูงสุดจะค่อยๆลดลง คือ เมื่อเพิ่มอุณหภูมิไปถึง  $95^{\circ}\text{C}$  ตำแหน่งการคุณลักษณะแสงสูงสุดอยู่ที่ประมาณ  $470\text{ nm}$  นอกจากนี้ยังพบอีกว่าพิกให้ล่องที่ตำแหน่งประมาณ  $550\text{ nm}$  ค่อยๆลดลงด้วย และค่าการคุณลักษณะแสงสูงสุดที่ประมาณ  $470\text{ nm}$  ค่อยๆเพิ่มขึ้น แสดงว่าเกิดการแยกออกจากกันของโมเลกุลเมื่อทำการเพิ่มอุณหภูมิ

สำหรับการวัดค่าการขยายแสง เมื่อให้ความยาวคลื่นของการกระตุ้นที่ 400 และ 500 nm จะพบว่ามีลักษณะของスペกตราร่าที่ไม่เหมือนกัน ซึ่งสอดคล้องกับการทดลองในสารละลายนอกห้องและเอกซานอล กล่าวคือ เมื่อทำการเปลี่ยนแปลงอุณหภูมิ พบร้าที่อุณหภูมิ  $15^{\circ}\text{C}$  ความยาวคลื่นของการกระตุ้นที่ 400 nm ปรากฏพีกของโมเลกุลเดี่ยวขึ้นตั้งแต่ช่วง 440-530 nm ซึ่งสูงใกล้เคียงกับพีกของการเกิด aggregate ในช่วง 590-640 nm ส่วนที่ความยาวคลื่นของการกระตุ้น 500 nm ปรากฏพีกของโมเลกุลเดี่ยวขึ้นที่ 540 nm พีกของการเกิด aggregate ที่ 590 และ 640 nm ซึ่งแตกต่างจากการกระตุ้นที่ 400 nm คือ ที่ระดับความสูงของพีกของการเกิด aggregate สูงกว่าพีกของโมเลกุลเดี่ยวอย่างเห็นได้ชัด เมื่อค่อยๆ เพิ่มอุณหภูมิขึ้นพบว่าพีกที่ตำแหน่งของโมเลกุลเดี่ยวและพีกของการเกิด aggregate ก่ออยู่เพิ่มขึ้น

เหมือนกัน แต่สำหรับพีคของไมเลกุลเดียวเมื่อเพิ่มขึ้นจนถึงอุณหภูมิ  $95^{\circ}\text{C}$  จะสูงกว่าพีคของการเกิด aggregate ทำให้ทราบว่าไมเลกุลเกิดการแยกออกจากกันเมื่อทำการเพิ่มอุณหภูมิสูงขึ้น



รูปที่ 3.3 (a) สเปกตรารการดูดกลืนแสง และ (b,c) สเปกตรารการ cavity แสง ของ MEH-PPV ในตัวทำละลาย บิวทานอล โดยใช้พลังงานการกระตุ้นแสงที่ความยาวคลื่น (b) 400 nm และ (c) 500 nm เมื่อเพิ่มอุณหภูมิ ที่ความเข้มข้น 0.01 mg/mL

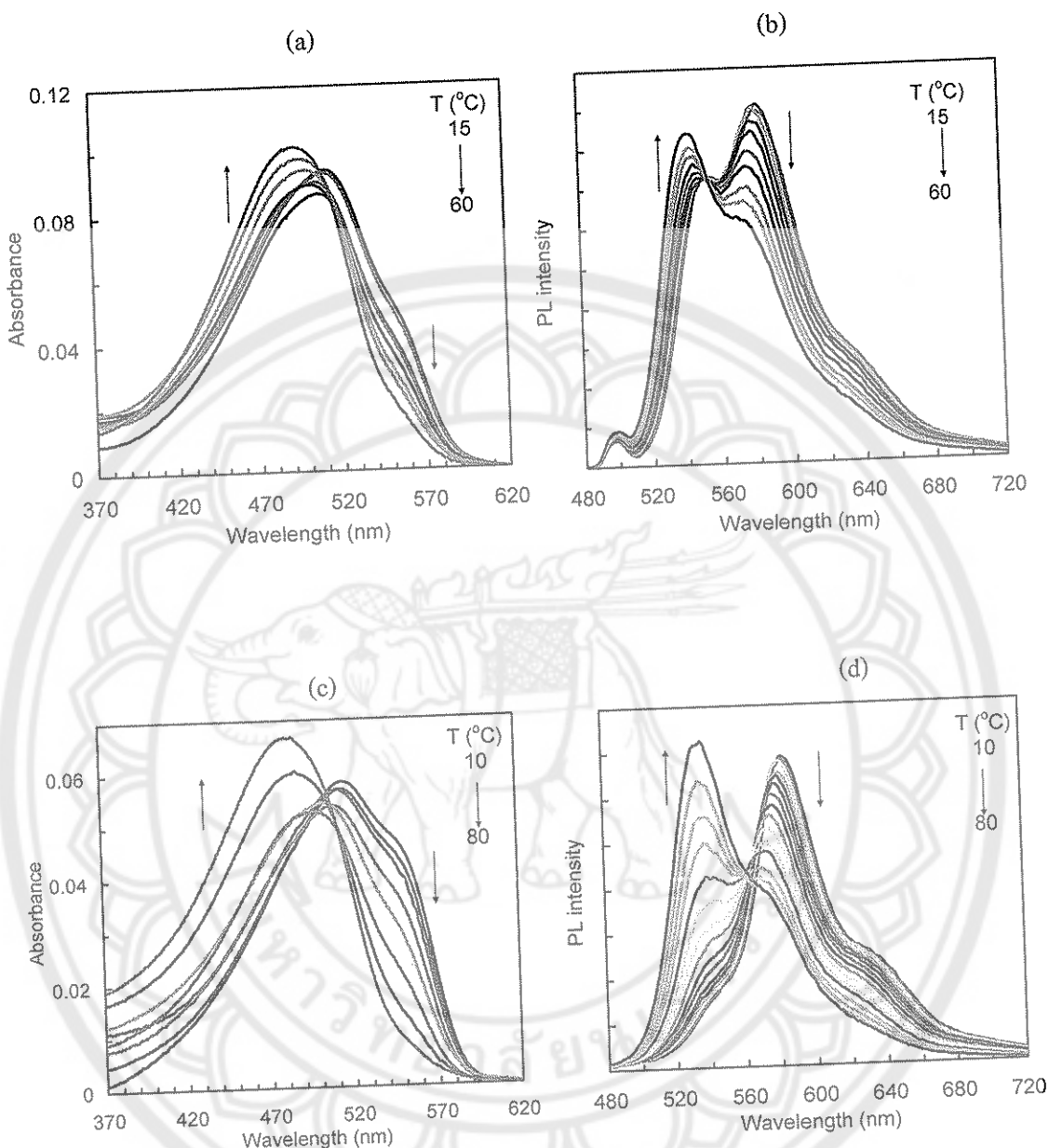
จากผลการทดลองที่ได้บ่งบอกว่าในตัวทำละลายแลกอหอส์แต่ละชนิด MEH-PPV และ MEH-PV สามารถบดกร่อนและแยกคุณภาพของสารต่างๆ ออกได้โดยใช้เทคนิคการซึมผ่านฟลักซ์ 2.5 ml/min ที่ 25°C สำหรับ MEH-PPV และ 0.5 ml/min สำหรับ MEH-PV ผลการทดลองแสดงว่าเมื่อเพิ่มอุณหภูมิ ตัวอย่างจะมีการซึมผ่านฟลักซ์ลดลง แต่เมื่อหalte ตัวอย่างไว้ที่ 25°C ฟลักซ์จะเพิ่มกลับคืนมา แสดงว่า MEH-PPV และ MEH-PV สามารถบดกร่อนและแยกคุณภาพของสารต่างๆ ได้ดีกว่าสารอื่นๆ ที่มีขนาดใหญ่ เช่น PEI และ PVDF ที่ต้องใช้อุณหภูมิสูงกว่า 25°C ในการบดกร่อนและแยกคุณภาพ

### 3.2 พฤติกรรมการแตกตัวของ MEH-PPV Aggregates ในตัวทำละลายผสม

จากการทดลองที่ผ่านมาของคณะผู้วิจัย<sup>22</sup> พบว่าเมื่อละลาย MEH-PPV ในตัวทำละลายคลอร์ฟอร์ม, โอลูอินและไฟรีดิน สายโซ่โพลิเมอร์จะมีการจัดเรียงตัวที่แตกต่างกันดังแสดงในรูปที่ 1.5 นอกจากนี้ยังพบว่าสามารถทำการเหนี่ยวนำสายโซ่โพลิเมอร์ให้เข้ามาจับกันแบบ aggregate ได้เมื่อเติมตัวทำละลายที่ไม่ได้คือไซโคเลเชกเซน 80% เข้าไปในทุกระบบ ซึ่งการเกิด aggregate นั้นสามารถได้จากตัวแหนงพีกที่เกิดขึ้นในスペกตราระบบคุณภาพแสงที่ประมาณ 550 nm และตัวแหนงพีกที่เกิดขึ้นในスペกตราระบบคุณภาพแสงที่ประมาณ 585 nm ดังนั้นในส่วนนี้จะทำการศึกษาพฤติกรรมการแตกตัวของ MEH-PPV Aggregates ในตัวทำละลายผสมเหล่านี้ โดยทำการเพิ่มอุณหภูมิขณะทำการวัดค่าการคุณภาพแสงและค่าการคุณภาพแสง แล้วคุณภาพเปลี่ยนแปลงรูปร่างของスペกตราระบบคุณภาพแสงและスペกตราระบบคุณภาพแสง เช่นเดียวกัน

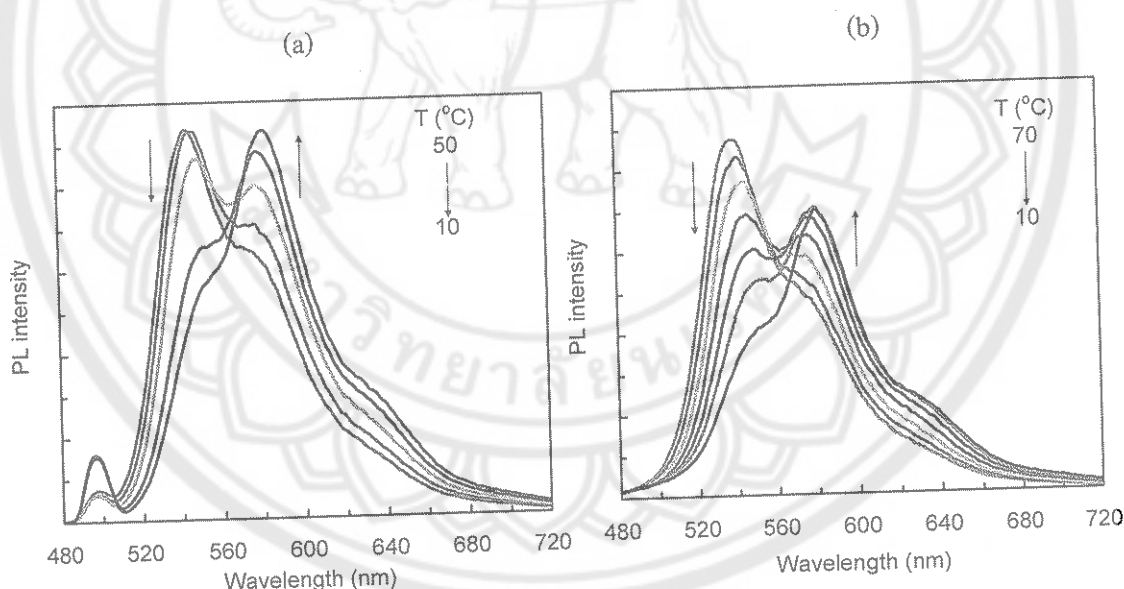
รูปที่ 3.4 แสดงスペクトราการดูดกลืนแสงและスペกตรากายแสงของสารละลายน้ำท่วงคลอโรฟอร์มกับไซโคลເຊກເໜີນ ແລະ ໂກງູອືນກັບໄຊໂຄລເຊກເໜີນ ທີ່ໄດ້ทำการวัดມື່ອຄ່ອຍາເພີ່ມອຸນຫຼວມທີ່ລະ 5 °C ຈຶ່ງໃນสารละลายน้ำท่วงคลอโรฟอร์ມໄດ້ทำการເພີ່ມອຸນຫຼວມຈາກ 15-60 °C ພົບວ່າທີ່ອຸນຫຼວມ 15 °C ສະເປົກຕາມມີຕໍາແໜ່ງການດູດກລືນແສງສູງສຸດອູ້ທີ່ປະມາມ 520 nm ແລະ ມື່ອຄ່ອຍາເພີ່ມອຸນຫຼວມໃໝ່ ພົບວ່າ ຕໍາແໜ່ງການດູດກລືນແສງສູງສຸດຄ່ອຍາລົດລົງ ເມື່ອເພີ່ມອຸນຫຼວມໄປສິ່ງ 60 °C ຕໍາແໜ່ງການດູດກລືນແສງສູງສຸດ ອູ້ທີ່ປະມາມ 490 nm ນອກຈາກນີ້ຢັງພວອກວ່າພຶກໄທລ໌ທີ່ຕໍາແໜ່ງປະມາມ 560 nm ຄ່ອຍາລົດລົງ ຈຶ່ງປ່ອນອກ ດີກຂອງການແກ່ອອກຈາກກັນຂອງໂມເລກຸດເມື່ອທຳການເພີ່ມອຸນຫຼວມສູງໃໝ່ເຮືອຍາ ສໍາຫັນການວັດສະເປົກຕາມກາຍ ດີກຂອງແກ່ອອກຈາກກັນຂອງໂມເລກຸດເມື່ອທຳການເພີ່ມອຸນຫຼວມສູງໃໝ່ເຮືອຍາ ສໍາຫັນການວັດສະເປົກຕາມກາຍ ແສ ລັກນະຂອງສະເປົກຕາມທີ່ໄດ້ປະກອບດ້ວຍພຶກຫລັກແລະໄທລ໌ ຈຶ່ງເກີດຈາກກາລັບສູ່ສ່ານະພື້ນທີ່ຮະດັບ ແລ້ວຈາກກັນຂອງໂມເລກຸດເມື່ອທຳການເພີ່ມອຸນຫຼວມສູງໃໝ່ເຮືອຍາ ເກີດພຶກຂອງໂມເລກຸດ ພົບຈາກນີ້ແຕກຕ່າງກັນ ເມື່ອທຳການເພີ່ມອຸນຫຼວມໃໝ່ ພົບວ່າທີ່ອຸນຫຼວມ 15 °C ເກີດພຶກຂອງໂມເລກຸດ ເດືອນໃໝ່ທີ່ຕໍາແໜ່ງ 540 nm ແຕ່ຄວາມສູງຂອງພຶກທີ່ເກີດນັ້ນມີກ່ານນ້ອຍກວ່າຄວາມສູງຂອງພຶກກາຣເກີດ aggregate ທີ່ຕໍາແໜ່ງ 590 nm ນອກຈາກນີ້ຢັງມີພຶກຂອງກາຣເກີດ aggregate ອີກທີ່ຕໍາແໜ່ງ 640 nm ເມື່ອຄ່ອຍາເພີ່ມ ອຸນຫຼວມໃໝ່ ພົບວ່າພຶກທີ່ຕໍາແໜ່ງ 590 ແລະ 640 nm ຄ່ອຍາ ລົດລົງ ສ່ວນພຶກທີ່ຕໍາແໜ່ງ 540 nm ຈຶ່ງເປັນພຶກ ຊອງໂມເລກຸດເດືອນທີ່ເພີ່ມໃໝ່ ນັ້ນແສດງວ່າໂມເລກຸດເກີດກາຍແກ່ອອກຈາກກັນເມື່ອທຳການເພີ່ມອຸນຫຼວມສູງໃໝ່ ເຮືອຍາ

ສໍາຫັນสารละลายน้ำທີ່ໄດ້ທຳການເພີ່ມອຸນຫຼວມຈາກ 10-80 °C ພົບພົຖິກຮົມໃນການປັບປຸງແປ່ງມີລັກນະເໜ່ງເດືອນດີກຂອງການປັບປຸງສູງສຸດທີ່ປະມາມ 520 nm ແລະ ເມື່ອຄ່ອຍາເພີ່ມອຸນຫຼວມໃໝ່ 10 °C ສະເປົກຕາມມີຕໍາແໜ່ງການດູດກລືນແສງສູງສຸດອູ້ທີ່ປະມາມ 520 nm ແລະ ເມື່ອຄ່ອຍາເພີ່ມອຸນຫຼວມໃໝ່ ພົບວ່າຕໍາແໜ່ງການດູດກລືນແສງສູງສຸດຄ່ອຍາລົດລົງ ຄື່ອ ເມື່ອເພີ່ມອຸນຫຼວມໄປສິ່ງ 80 °C ຕໍາແໜ່ງການດູດກລືນ ແສ ສູງສຸດອູ້ທີ່ປະມາມ 480 nm ນອກຈາກນີ້ຢັງພວອກວ່າພຶກໄທລ໌ທີ່ຕໍາແໜ່ງປະມາມ 550 nm ຄ່ອຍາລົດລົງ ແລະ ດ້ວຍການດູດກລືນແສງສູງສຸດຄ່ອຍາເພີ່ມໃໝ່ ຈຶ່ງເກີດພຶກທີ່ໃຫ້ເຫັນດີກາຍແກ່ອອກຈາກກັນຂອງໂມເລກຸດເມື່ອທຳການເພີ່ມອຸນຫຼວມໃໝ່ ພົບວ່າທີ່ເພີ່ມອຸນຫຼວມສູງໃໝ່ເຮືອຍາ ສໍາຫັນການວັດສະເປົກຕາມກາຍແສງເມື່ອທຳການເພີ່ມອຸນຫຼວມໃໝ່ ພົບວ່າທີ່ອຸນຫຼວມ 10 °C ເກີດພຶກຂອງໂມເລກຸດເດືອນໃໝ່ທີ່ຕໍາແໜ່ງ 540 nm ແຕ່ຄວາມສູງຂອງພຶກທີ່ເກີດນັ້ນມີກ່ານນ້ອຍກວ່າ ອຸນຫຼວມ 10 °C ເກີດພຶກຂອງໂມເລກຸດເດືອນໃໝ່ທີ່ຕໍາແໜ່ງ 540 nm ມາກ ນອກຈາກນີ້ຢັງມີພຶກຂອງກາຣເກີດ aggregate ອີກທີ່ ຕໍາແໜ່ງ 640 nm ຈຶ່ງເປັນພຶກທີ່ໃຫ້ເຫັນດີກາຍແກ່ອອກຈາກກັນຂອງໂມເລກຸດເດືອນໃໝ່ ພົບວ່າອົດຮາສ່ວນຂອງໂມເລກຸດເດືອນໃໝ່ ຕໍາແໜ່ງ 640 nm ຈຶ່ງເປັນພຶກທີ່ໃຫ້ເຫັນດີກາຍແກ່ອອກຈາກກັນຂອງໂມເລກຸດທີ່ເກີດ aggregate ໃນການປັບປຸງໂມເລກູອືນທີ່ຄ່າສູງກວ່າ ແສ ວ່າໃນໂມເລກູອືນສາມາດເກີດ aggregate ໄດ້ຈ່າຍໃນຄລອໂຣຟອຣົມ ແຕ່ເມື່ອຄ່ອຍາເພີ່ມອຸນຫຼວມໃໝ່ ພົບວ່າພຶກທີ່ຕໍາແໜ່ງ 590 ແລະ 640 nm ຄ່ອຍາລົດລົງ ສ່ວນພຶກທີ່ຕໍາແໜ່ງ 540 nm ຈຶ່ງເປັນພຶກຂອງໂມເລກຸດເດືອນທີ່ເພີ່ມໃໝ່ ຈຶ່ງພຶກຂອງໂມເລກຸດເດືອນທີ່ເພີ່ມໃໝ່ ນັ້ນຈະສູງກວ່າພຶກກາຣເກີດ aggregate ທີ່ອຸນຫຼວມ 10 °C ທຳໄຫ້ກຽນວ່າໂມເລກຸດເກີດກາຍແກ່ອອກຈາກກັນເມື່ອ ທຳການເພີ່ມອຸນຫຼວມສູງໃໝ່ເຮືອຍາ ຈຶ່ງເປັນພຶກທີ່ໃຫ້ເຫັນດີກາຍແກ່ອອກຈາກກັນໄດ້ຈ່າຍກວ່າ



รูปที่ 3.4 (ซ้าย) สเปกตรการดูดกลืนแสง และ (ขวา) สเปกตรการคายแสง ของ MEH-PPV ในตัวทำละลายพสมะหวัง (a,b) คลอโรฟอร์มและโซเดียมโซเดียม และ (c,d) โซเดียมและโซเดียม เมื่อเพิ่มอุณหภูมิที่ความเข้มข้น  $0.002 \text{ mg/mL}$

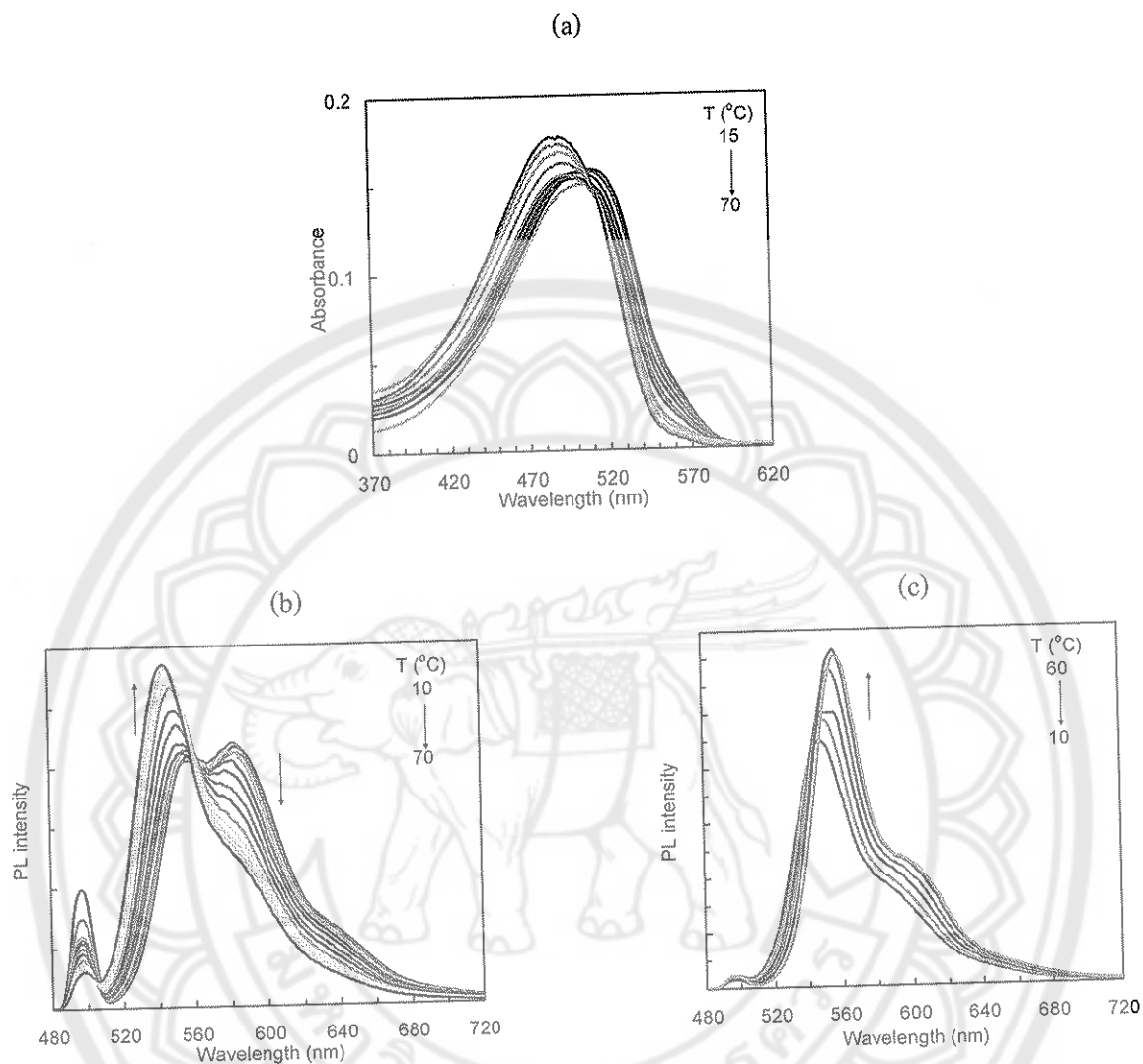
หลังจากนั้นได้ทำการลดอุณหภูมิของสารละลายนี้ก็พบรูปแบบเปลี่ยนแปลงของスペกตรัมการคายแสงในลักษณะคล้ายกันกับเมื่อทำการเพิ่มอุณหภูมิ แสดงว่าปรากฏการณ์นี้สามารถผันกลับได้เมื่อทำการลดอุณหภูมิลง โดยได้ทำการวัดการคายแสงของสารละลายนะส่วนต่อไปนี้ จึงสามารถลดอุณหภูมิลงจาก  $50-10^{\circ}\text{C}$  ดังแสดงในรูปที่ 3.5 พบว่าที่อุณหภูมิ  $50^{\circ}\text{C}$  เกิดพีคของโมเลกุลเดี่ยวขึ้นที่ตำแหน่ง  $540\text{ nm}$  มีความสูงของพีคมากกว่าความสูงของการเกิด aggregate ที่ตำแหน่ง  $590\text{ nm}$  เมื่อค่อยๆ ลดอุณหภูมิลงพบว่าพีคที่ตำแหน่ง  $540\text{ nm}$  ซึ่งเป็นพีคของโมเลกุลเดี่ยวค่อยๆ ลดลง ส่วนพีคที่ตำแหน่ง  $590$  และ  $640\text{ nm}$  ค่อยๆ เพิ่มขึ้นด้วย นั่นแสดงว่าโมเลกุลเกิด aggregate เมื่อทำการลดอุณหภูมิลงเรื่อยๆ สำหรับการละลายพสม. โกลูอินได้ทำการวัดการคายแสงที่ได้จากการลดอุณหภูมิจาก  $70-10^{\circ}\text{C}$  พบพฤติกรรมในการเปลี่ยนแปลงมีลักษณะเช่นเดียวกันในสารละลายพสม. คือเมื่อทำการลดอุณหภูมิลงพบว่าพีคที่เกิดมากกว่าความสูงของพีคการเกิด aggregate ที่ตำแหน่ง  $590\text{ nm}$  แต่เมื่อค่อยๆ ลดอุณหภูมิลง พบว่าพีคที่ตำแหน่ง  $590$  และ  $640\text{ nm}$  ค่อยๆ เพิ่มขึ้น พีคที่ตำแหน่ง  $540\text{ nm}$  ซึ่งเป็นพีคของโมเลกุลเดี่ยวค่อยๆ ลดลง ส่วนพีคของพีคที่เพิ่มขึ้นที่อุณหภูมิ  $10^{\circ}\text{C}$  นั้น ทำให้ทราบว่าโมเลกุลเกิดการเข้ามาจับกันเมื่อทำการลดอุณหภูมิลงเรื่อยๆ



รูปที่ 3.5 สเปกตรารการคายแสง ของ MEH-PPV ในตัวทำละลายพสม.ระหว่าง (a) คลอ.โรฟอร์มและไช.โคลเซกเซน และ (b) โกลูอินและไช.โคลเซกเซน เมื่อลดอุณหภูมิ ที่ความเข้มข้น  $0.002\text{ mg/mL}$

นอกจากนี้ ยังได้ทำการศึกษาในสารละลายน้ำได้เคียงกับโกลูอิน แต่มีความเป็นขั้นมากกว่าเล็กน้อย พบว่าการเปลี่ยนแปลงของสเปกตรากับการเปลี่ยนแปลงเมื่อเพิ่มอุณหภูมิ มีลักษณะคล้ายกันกับในสารละลายคลอร์ฟอร์มและโกลูอิน ดังแสดงในรูปที่ 3.6 เมื่อทำการเพิ่มอุณหภูมิจาก  $15-70^{\circ}\text{C}$  พบว่าที่อุณหภูมิ  $10^{\circ}\text{C}$  สเปกตรามีตำแหน่งการคูดกลืนแสงสูงสุดอยู่ที่ประมาณ  $515\text{ nm}$  และเมื่อค่อยๆเพิ่มอุณหภูมิขึ้น พบว่าตำแหน่งการคูดกลืนแสงสูงสุดค่อยๆลดลง คือเมื่อเพิ่มอุณหภูมิไปถึง  $70^{\circ}\text{C}$  ตำแหน่งการคูดกลืนแสงสูงสุดอยู่ที่ประมาณ  $490\text{ nm}$  นอกจากนี้ยังพบอีกว่าพิกไอลที่ตำแหน่งประมาณ  $560\text{ nm}$  ค่อยๆลดลงด้วย และค่าการคูดกลืนแสงสูงสุดค่อยๆเพิ่มขึ้น ซึ่งเกิดขึ้นให้เห็นถึงการแยกออกจากกันของโนเมเลกุล เมื่อทำการเพิ่มอุณหภูมิสูงขึ้นเรื่อยๆ สำหรับการวัดสเปกต์ไฟฟ้าที่ตำแหน่งประมาณ  $560\text{ nm}$  ค่าการคูดกลืนแสงสูงสุดค่อยๆเพิ่มขึ้น ซึ่งเกิดขึ้นเมื่อเพิ่มอุณหภูมิขึ้น พบว่าที่อุณหภูมิ  $10^{\circ}\text{C}$  เกิดพิกของโนเมเลกุลเดี่ยวขึ้นที่ตำแหน่ง  $540\text{ nm}$  ซึ่งความสูงของพิกที่เกิดนั้นมีค่าเท่าๆกับความสูงของพิกการเกิด aggregate ที่ตำแหน่ง  $590\text{ nm}$  นอกจากนี้ยังมีพิกของการเกิด aggregate อีกที่ตำแหน่ง  $640\text{ nm}$  แต่เมื่อค่อยๆเพิ่มอุณหภูมิขึ้น พบว่าพิกที่ตำแหน่ง  $590$  และ  $640\text{ nm}$  ค่อยๆลดลง พิกที่ตำแหน่ง  $540\text{ nm}$  ซึ่งเป็นพิกของโนเมเลกุลเดี่ยวที่เพิ่มขึ้น ซึ่งพิกของโนเมเลกุลเดี่ยวที่เพิ่มขึ้นนี้จะสูงกว่าพิกการเกิด aggregate ที่อุณหภูมิ  $10^{\circ}\text{C}$  ทำให้ทราบว่าโนเมเลกุลเกิดการแยกออกจากกันเมื่อทำการเพิ่มอุณหภูมิสูงขึ้นเรื่อยๆ หลังจากนี้ได้ทำการลดอุณหภูมิของสารละลาย ซึ่งพนัยการเปลี่ยนแปลงของการคายแสงในลักษณะที่แตกต่างกันเมื่อทำการเพิ่มอุณหภูมิ นอกจากนี้ยังแตกต่างจากพุติกรรมในสารละลายผสมคลอร์ฟอร์มและสารละลายผสมโกลูอินด้วย โดยเมื่อทำการวัดการคายแสงของสารละลายผสมไพริดีน จากการลดอุณหภูมิจาก  $60-10^{\circ}\text{C}$  พบว่าที่อุณหภูมิ  $60^{\circ}\text{C}$  เกิดพิกของโนเมเลกุลเดี่ยวขึ้นที่ตำแหน่ง  $550\text{ nm}$  และเกิดพิกของการเกิด aggregate ที่ตำแหน่ง  $600\text{ nm}$  เพียงเล็กน้อย เมื่อค่อยๆลดอุณหภูมิลง พบว่าพิกที่ตำแหน่ง  $550\text{ nm}$  ค่อยๆเพิ่มขึ้น สร้างพิกที่ตำแหน่ง  $600\text{ nm}$  ก็เพิ่มขึ้นเช่นกันแต่น้อยกว่า แสดงว่าโนเมเลกุลไม่สามารถเกิดการเข้ามาจับกันได้เหมือนเดิม ซึ่งเกิดต่างจากที่ได้ทำการทดลองที่ผ่านมา ทั้งนี้อาจเกิดจากการที่โนเมเลกุลแยกออกจากกัน แล้วหาดตัวในลักษณะของโนเมเลกุลเดี่ยว ทำให้ปรากฏการณ์นี้ไม่สามารถพัฒนาได้

การเปลี่ยนแปลงสมบัติการคูดกลืนแสงและการคายแสงที่พบในสารละลายน้ำ MEH-PPV ในตัวทำละลายทั้งสามชนิดที่กล่าวมาแล้วข้างต้น เมื่อทำการเปลี่ยนแปลงอุณหภูมิ สามารถสรุปได้ คือ ค่าตำแหน่งการคูดกลืนแสงสูงสุดลดลงเมื่อทำการเพิ่มอุณหภูมิ นอกจากนี้ค่าการคูดกลืนแสงสูงสุดที่เพิ่มขึ้นด้วยที่อุณหภูมิสูง การลดลงของค่าตำแหน่งการคูดกลืนแสงสูงสุดจะสอดคล้องกับการขยายว่างี้ของค่าช่องพลังงาน (energy gap) ซึ่งเกิดขึ้นเมื่อการลดลงของความยาวของการเกิดอนุเกห์ชั่นภายในสายโซ่หลักของโพลิเมอร์ MEH-PPV และในการเพิ่มอุณหภูมิจะทำให้พิกเลื่อนตำแหน่งการคูดกลืนแสงและการคายแสงสูงสุดลดลง แสดงว่าเกิด blue shift ขึ้น



รูปที่ 3.6 (a) สเปกตรการดูดกลืนแสง และ (b,c) สเปกตรการคายแสง ของ MEH-PPV ในตัวทำละลาย พสมระหว่างไพริดีนและโซเดียมฟอกฟิล์มที่ความเข้มข้น 0.002 mg/mL

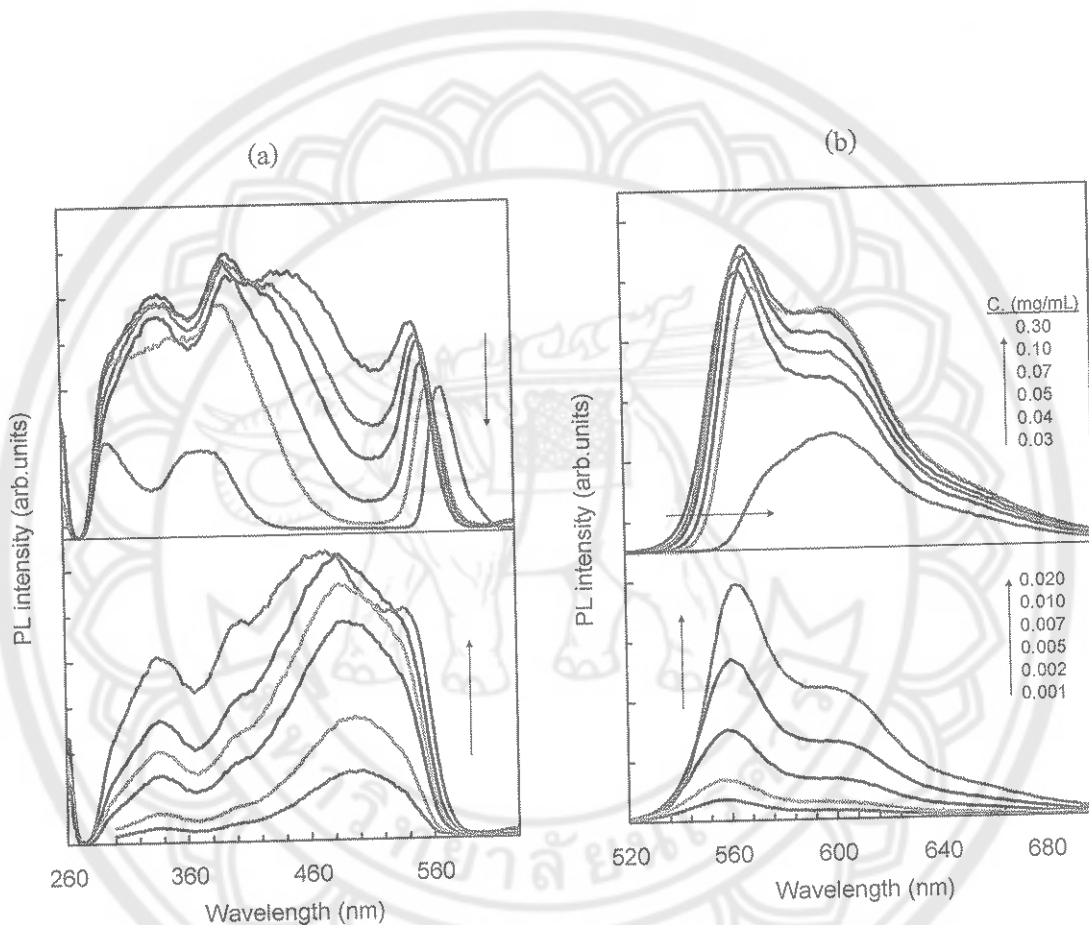
### 3.3 ผลลัพธ์ความเข้มข้นต่อพหุติกรรมการแตกตัวของ MEH-PPV Aggregates

3.3 ผลของสารเคมีชนิดพุ่งไฟฟ้า.....

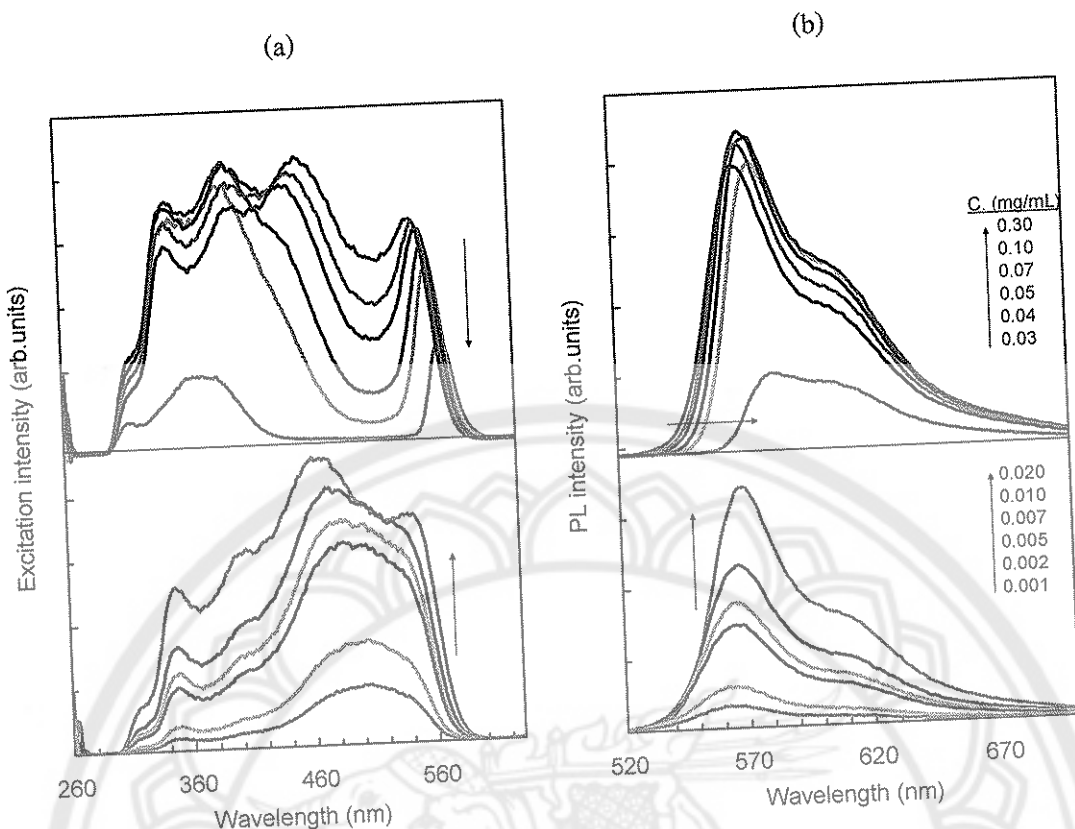
การที่จะดูพฤติกรรมการเข้ามาจับกันว่ามีการจับกันในตัวทำละลายชนิดไหนได้ก็ว่ากันตามกรณีที่ได้ใช้วิธีนี้ คือ การค่อยๆเพิ่มความเข้มข้นขึ้น แล้วทำการศึกษาว่าที่ความเข้มข้นเท่าไหร่สารที่เราศึกษาจะเริ่มเข้ามาจับกัน ซึ่งอาศัยคุณสมบัติที่ว่าสารของเรายังสามารถเกิดการเปลี่ยนแปลงคุณสมบัติทางแสงเมื่อไม่เลกูลเข้ามาจับกัน จะนั้นในการทดลองนี้จึงทำการเปลี่ยนแปลงความเข้มข้นตั้งแต่ความเข้มข้นต่ำจนความเข้มข้นสูง แล้ววัดスペกตรารายแสงและการกระตุ้น สังเกตจากการเปลี่ยนแปลงที่เกิดขึ้น ในรูปที่ 3.7 แสดงスペกตรารายแสงและการกระตุ้นที่ความเข้มข้นต่างๆ ตั้งแต่ 0.001-0.3 mg/mL ในโกลูอิน พบว่าที่ความเข้มข้นต่ำๆスペกตรารการกระตุ้นมีลักษณะคล้ายกับสเปกตรารดูดแสงของไมเลกูลเดียว และที่スペกตรารายแสงก็พบスペกตรารของไมเลกูลเดียว เช่นกัน แสดงว่าสารของเรามีแต่ไมเลกูลเดียวเท่านั้นที่ความเข้มข้นต่ำ เมื่อค่อยๆเพิ่มความเข้มข้นจากนั้น แสดงว่าสารของเรามีรูปร่างใหม่ๆ เนื่องจากมีการรวมตัวกันเป็นกลุ่มมากขึ้น ซึ่งก็เป็นไปอย่างที่คาดไว้ว่า ความเข้มของการรายแสงและการกระตุ้นจะเพิ่มขึ้นเมื่อสารมีปริมาณมากขึ้น แต่ถ้าสังเกตที่ความเข้มข้นต่ำๆถึง 0.01 mg/mL พบร้าสเปกตรารายแสงและการกระตุ้นไม่เกิดการเปลี่ยนแปลง ความเข้มข้นต่ำๆถึง 0.02 mg/mL รูปร่างของスペกตรารเริ่มเปลี่ยนไป และสเปกตรารมากนัก เมื่อเพิ่มความเข้มข้นถึง 0.03 mg/mL ซึ่งบ่งบอกถึงการที่สารการกระตุ้นที่ 550-560 nm เกิดการเปลี่ยนแปลงขึ้นที่ความเข้มข้น 0.03 mg/mL ซึ่งบ่งบอกถึงการที่สารของเรารีบมีแรงกระทำในการเข้ามาจับกันมากขึ้น ลดคลื่องกับสเปกตรารายแสง จะสังเกตได้ว่าเริ่มมีแรงกระทำในการเข้ามาจับกันมากขึ้น ลดคลื่องกับสเปกตรารายแสง ใจสังเกตได้ว่าเริ่มมีการเปลี่ยนแปลงเกิดขึ้น โดยพีคที่ต่ำๆถึง 550-560 nm เกิด red shift และรูปร่างของスペกตราก็เริ่มมีการเปลี่ยนแปลงเกิดขึ้น โดยพีคที่ต่ำๆถึง 590-600 nm เห็นความเข้มของรูปร่างของสเปกตรารายแสงลดลง ในขณะที่ต่ำๆถึง 590-600 nm เห็นความเข้มของรูปร่างของสเปกตรารายแสงเพิ่มขึ้น ซึ่งบ่งบอกถึงการ aggregate เกิดขึ้น ที่ความเข้มข้น 0.3 mg/mL พบร้า aggregate เกิดขึ้น มากสังเกตได้จากการเปลี่ยนแปลงของสเปกตรารายแสง

จากนั้นได้ทำการศึกษาในลักษณะเดียวกันทั้งในเตตระไฮโดรฟิวเรนและคลอโรฟอร์ม ซึ่งพบว่าร่างของสเปกตรามีลักษณะเดียวกันกับในโกลูอิน คือ เมื่อเพิ่มความเข้มข้นถึง  $0.02 \text{ mg/mL}$  โพลิเมอร์จะเริ่มเข้ามาจับกัน สำหรับความแตกต่างนั้นจะพบเฉพาะที่ความเข้มข้นสูงเท่านั้น โดยในโกลูอินพบการเกิด aggregate ที่ความเข้มข้นสูงค่อนข้างมากกว่าในตัวทำละลายชนิดอื่นๆ ส่วนในไพริดินก็เกิดเหมือนกันดังแสดงในรูปที่ 3.8 แต่ถ้าเทียบความสูงที่ตำแหน่ง  $550-590 \text{ nm}$  ในโกลูอินมี aggregate เกิดมากกว่าอย่างเห็นได้ชัด และนอกจากนี้ยังพบว่าที่ความเข้มข้นต่ำๆ สเปกตราระดับนี้มีลักษณะคล้ายกับสเปกตราเห็นได้ชัด และนอกจากนี้ยังพบว่าที่ความเข้มข้นต่ำๆ สเปกตราระดับนี้มีลักษณะคล้ายกับสเปกตราการดูดกลืนแสงของโมเลกุลเดียว แต่ถ้าค่อยๆ เพิ่มความเข้มข้นขึ้นจาก  $0.001-0.007 \text{ mg/mL}$  พบว่าความเข้มข้นของการดูดกลืนแสงจะสูงขึ้น ที่ความเข้มข้นต่ำๆ ถึง  $0.01 \text{ mg/mL}$  สเปกตราการดูดกลืนแสงและการกระตุ้นจะสูงขึ้น ที่ความเข้มข้นต่ำๆ ถึง  $0.02 \text{ mg/mL}$  รูปร่างของสเปกตราเริ่มมีการเปลี่ยนแปลงมากนัก แต่เมื่อเพิ่มความเข้มข้นถึง  $0.02 \text{ mg/mL}$  รูปร่างของสเปกตราเริ่มมีการเปลี่ยนแปลง และสเปกตราการกระตุ้นเลื่อนไปยังตำแหน่ง red shift เมื่อได้ทำ

การเพิ่มความเข้มข้นขึ้นเรื่อยๆ ไปที่  $0.03 \text{ mg/mL}$  จะสังเกตได้ว่าเกิด red shift และรูปร่างของスペกตราก็เริ่มนีการเปลี่ยนแปลงเกิดขึ้น โดยพิกต์ตำแหน่ง  $550\text{-}560 \text{ nm}$  เริ่มเห็นความเข้มของการ cavity แสงลดลง ซึ่งบ่งบอกถึงการที่สารที่เราศึกษาเริ่มนีแรงกระทำในการเข้ามาจับกันมากขึ้น ในขณะที่ตำแหน่งประมาณ  $590\text{-}600 \text{ nm}$  ซึ่งบ่งบอกถึงการเกิด aggregate สังเกตได้ชัดเจนขึ้น แต่ถ้าเทียบกับใน THOLOEIN การเข้ามาจับตัวกันของ polyimide ใน PVIDIN จะมากกว่า สังเกตได้จากที่ความเข้มข้น  $0.3 \text{ mg/mL}$  ใน PVIDIN ยังมีโมเลกุลเดี่ยวเหลืออยู่ แต่ใน THOLOEIN แทบจะไม่มีเลย ซึ่งจากการทดลองนี้ทำให้ได้ข้อสรุปเหมือนที่ผ่านมาว่าใน PVIDIN เกิดการเข้ามาจับกันได้ค่อนข้างน้อย

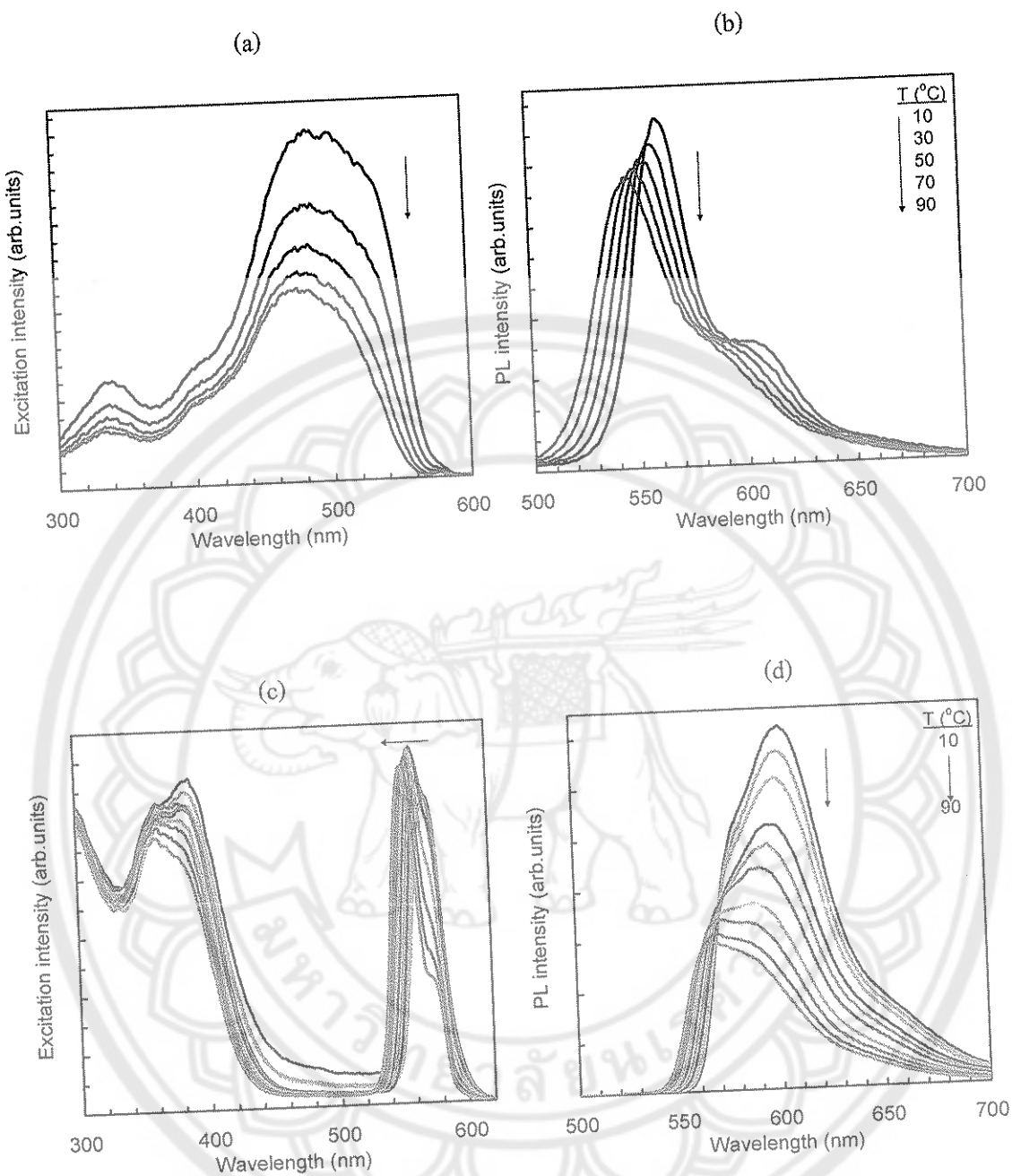


รูปที่ 3.7 (a) สเปกตราระดับตื้นแสง และ (b) สเปกตราระดับ cavity ของ MEH-PPV ในตัวทำละลาย THOLOEIN ที่ความเข้มข้น  $0.3\text{-}0.001 \text{ mg/mL}$  โดยใช้ (a) พลังงานการ cavity แสงที่ความยาวคลื่น  $575 \text{ nm}$  และ (b) พลังงานการระดับตื้นแสงที่ความยาวคลื่น  $400 \text{ nm}$

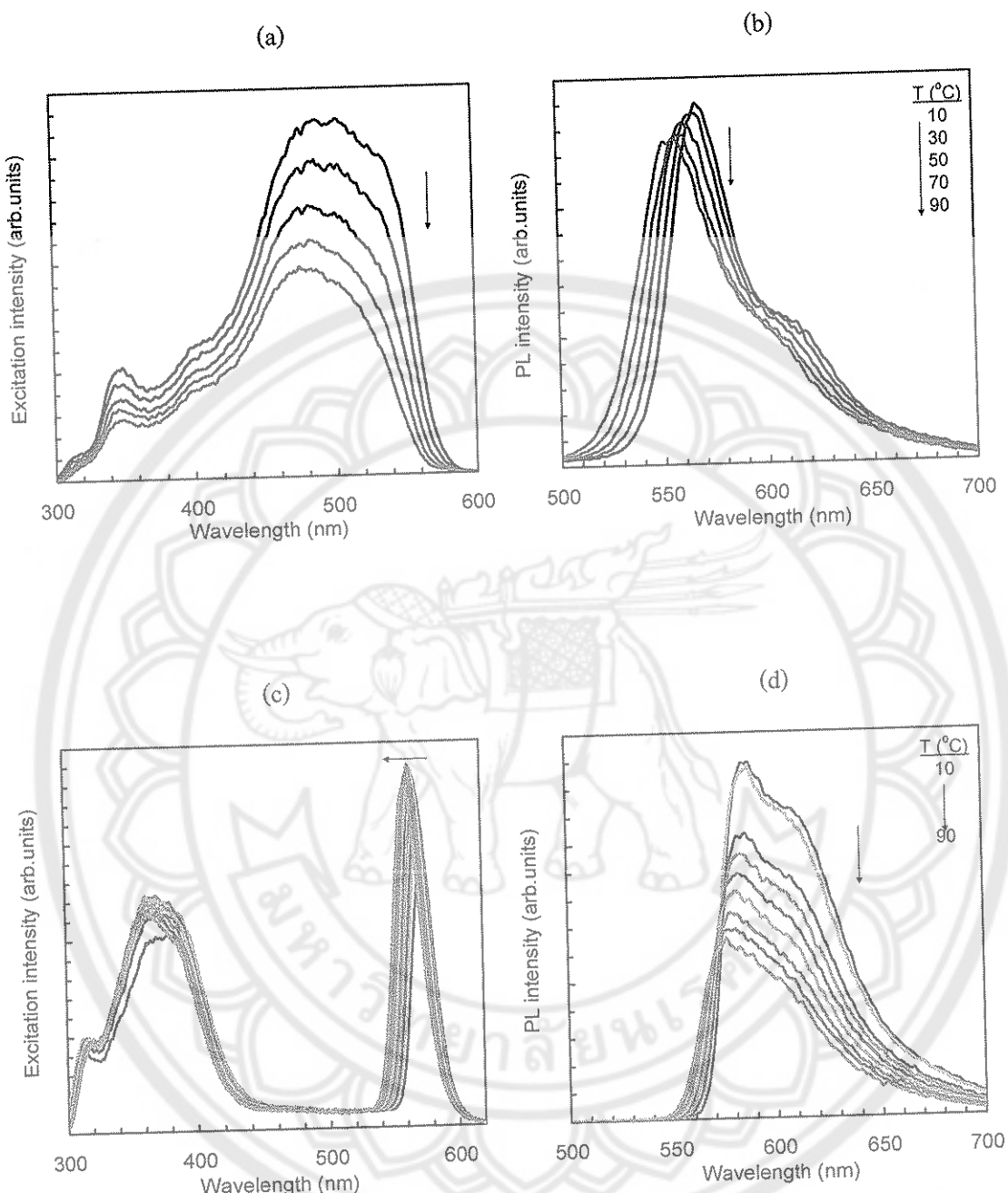


รูปที่ 3.8 (a) สเปกตรการกระตุ้นแสง และ (b) สเปกตรการคายแสง ของ MEH-PPV ในตัวทำละลายไฟริดินที่ความเข้มข้น 0.3-0.001 mg/mL โดยใช้ (a) พลังงานการคายแสงที่ความยาวคลื่น 575 nm และ (b) พลังงานการกระตุ้นแสงที่ความยาวคลื่น 400 nm

เพื่อศึกษาว่าการเกิด aggregate ในสารละลายโทลูอินและไฟริดินจับกันแข็งแรงแค่ไหน จึงได้ทำการเปลี่ยนแปลงอุณหภูมิ โดยนำสารละลายที่มีความเข้มข้น 0.005 และ 0.3 mg/mL ในโทลูอิน มาทดลองเพื่อเปรียบเทียบสเปกตราที่เปลี่ยนไป ดังแสดงในรูปที่ 3.9 สำหรับสเปกตราของไมเดกูลเดียวที่ความเข้มข้น 0.005 mg/mL การเพิ่มอุณหภูมิตั้งแต่ 10-90 °C มีผลทำให้สเปกตราการกระตุ้นมีความเข้มข้นเพิ่มขึ้น แต่ตักษะรูปร่างที่ยอดของสเปกตราไม่ค่อยมีการเปลี่ยนแปลงมากเกิดขึ้นทำให้เกิด blue shift เช่นกัน แต่ตักษะรูปร่างที่ยอดของสเปกตราไม่ค่อยมีการเปลี่ยนแปลงมากนัก ส่วนที่ความเข้มข้น 0.3 mg/mL ซึ่งมี aggregate เมื่อเพิ่มอุณหภูมิจะพบการลดลงของความเข้มข้นของนัก การคายแสงสำหรับรูปร่างของสเปกตราที่เกิดการเปลี่ยนแปลงที่ 550-560 nm ซึ่งถ้าเปรียบเทียบกับที่ 600 nm จะมีความเข้มมากกว่าแสดงถึงการแตกออกของ aggregate ซึ่งในสเปกตราการกระตุ้นก็เหมือนกัน ถือ เกิด blue shift เมื่อความเข้มข้นสูงขึ้น ส่วนในไฟริดินก็พบการเปลี่ยนแปลงในลักษณะเดียวกัน ดังแสดงในรูปที่ 3.10



รูปที่ 3.9 (a,c) สเปกตรการกระตุ้นแสง และ (b,d) สเปกตรการ cavity แสง ของ MEH-PPV ในตัวทำละลายน้ำอินทรีย์ เมื่อทำการเพิ่มอุณหภูมิที่ความเข้มข้น (a,b) 0.005 mg/mL และ (c,d) 0.3 mg/mL โดยใช้ 400 nm



รูปที่ 3.10 (a,c) สเปกตรการกระตุ้นแสง และ (b,d) สเปกตรการคายแสง ของ MEH-PPV ในตัวทำละลายไพริดิน เมื่อทำการเพิ่มอุณหภูมิที่ความเข้มข้น (a,b) 0.005 mg/mL และ (c,d) 0.3 mg/mL โดยใช้ (a,c) พลังงานการคายแสงที่ความยาวคลื่น 575 nm และ (b,d) พลังงานการกระตุ้นแสงที่ความยาวคลื่น 400 nm

สำหรับที่ความเข้มข้นต่ำๆ ในโลหะและไพริดินจะมีลักษณะคล้ายๆ กันคือ เมื่อเพิ่มความอุณหภูมิ ถึงเมื่อระดับความสูงของความเข้มจะลดลงและเกิด blue shift แต่รูปร่าง สเปกตราริ่องอุณหภูมิต่ำๆ ไปจนถึงอุณหภูมิสูง แทนจะไม่มีการเปลี่ยนแปลงเกิดขึ้นเลย ส่วนที่ความเข้มข้นสูงๆ พนการลดลงของความเข้มของการหายแสงในไพริดิน แต่รูปร่างของสเปกตรามิ่งเปลี่ยนแปลงมากนัก ซึ่งอาจจะเกิดจาก aggregate ที่มีน้ำอยู่แล้ว ทำให้เมื่อเพิ่มอุณหภูมิแล้วไม่เกิดการแยกออกจากกันและไม่มีผลต่อรูปร่างสเปกตรามากนัก ซึ่งจะสอดคล้องกับที่นักวิเคราะห์ aggregate ในไพริดินเกิดขึ้นได้ยาก

จากการศึกษาในส่วนนี้สามารถสรุปได้ว่าความเข้มข้นมีผลต่อพฤติกรรมการเข้ามาจับกัน โดยในโลหะใน MEH-PPV สามารถเข้ามาจับกันได้ง่าย และที่เข้ามาจับกันได้ยากที่สุด คือ ในไพริดิน ซึ่งจาก การศึกษาพบว่า ที่ความเข้มข้น  $0.02 \text{ mg/mL}$  รูปร่างของสเปกตราริ่องมีการเปลี่ยนแปลงเกิดขึ้น และตำแหน่งของพิกัดที่เกิดยังเลื่อนไปทาง red shift เพื่อที่จะยืนยันการเกิด aggregate ในสารละลายจึงได้ทำการเพิ่มอุณหภูมิทั้งในโลหะและไพริดิน โดยเลือกใช้ความเข้มข้นที่ต่ำที่สุดและความเข้มข้นที่สูงที่สุด เพื่อให้เห็นถึงข้อแตกต่างที่ชัดเจน เมื่อเพิ่มอุณหภูมิระดับความสูงของความเข้มจะลดลงและเกิด blue shift ขึ้น



## บทที่ 4

ในการศึกษาครั้งนี้ได้ศึกษาการแตกตัวของ MEH-PPV Aggregates ในสารละลาย ซึ่ง MEH-PPV aggregate ที่เกิดขึ้นนี้ สามารถทำให้แยกออกจากกัน ได้เมื่อทำการเพิ่มพลังงานของระบบด้วยการเพิ่มอุณหภูมิให้สูงขึ้น เนื่องจาก การที่ MEH-PPV ที่อยู่ในสภาพวัสดุโดยเดียวและแบบ aggregates มีสมบัติการดูดกลืนแสงและการหายแสงที่แตกต่างกันดังที่ได้กล่าวมาแล้วข้างต้น ดังนั้นจึงทำให้สามารถติดตามการดูดกลืนแสงและการหายแสงที่แตกต่างกันดังที่ได้กล่าวมาแล้วข้างต้น ดังนั้นจึงทำให้สามารถติดตามพฤติกรรมการแยกออกจากกันของ aggregates โดยใช้เทคนิคยูวี-วีสีเบิล และฟลูออเรสเซนซ์สเปกโตรสโคปี โดยได้ทำการศึกษาถึงการเปลี่ยนแปลงชนิดของตัวทำละลาย และ ความเข้มข้นของโพลิเมอร์ ซึ่งผลการศึกษาที่ได้จะสามารถใช้เป็นความรู้พื้นฐานเพื่อนำไปสู่ความสามารถในการควบคุมสมบัติทางแสงได้

จากการทดลองในตัวทำละลายแอลกอฮอล์แต่ละชนิดพบว่า MEH-PPV จะแสดงสมบัติการดูดกลืนแสงและการหายแสงที่แตกต่างกันขึ้นกับความสามารถในการละลาย ซึ่งพบว่าแอลกอฮอล์ที่ละลาย MEH-PPV ได้ดีจะเกิด aggregate ได้น้อยกว่าในแอลกอฮอล์ที่ละลาย MEH-PPV ได้ก่อนข้างมาก และเมื่อทำการเพิ่มอุณหภูมิของระบบให้สูงขึ้นพบว่า aggregate จะเกิดการแตกตัวออก ทำให้ดำเนินการดูดกลืนแสงและการหายแสงสูงสุดของโมเลกุลเดียวเลื่อนไปทางความยาวคลื่นลดลงลดลง ซึ่งสอดคล้องกับการขยายว่างขึ้นของค่าช่องพัลจาน HOMO-LUMO ซึ่งก็นับออกถึงการลดลงของความยาวของการเกิดค่อนขุนเกตซั่นภายในสายโซ่หลักของโพลิเมอร์ MEH-PPV และในการเพิ่มอุณหภูมิความยาวของการเกิดค่อนขุนเกตซั่นภายในสายโซ่หลักของโพลิเมอร์ MEH-PPV และในการเพิ่มอุณหภูมิจะทำให้แสดงว่าเกิด blue shift ขึ้น นอกจากนี้พบว่าดำเนินการดูดกลืนของพีคスペกตรารายแสงขึ้นอยู่กับการซ่อนหักกันของบางส่วนในสายโซ่หลักของโพลิเมอร์อันเนื่องมาจากการจัดเรียงตัวที่ก่อนข้างแน่นภายในตัวทำละลายที่ละลายโพลิเมอร์ได้ก่อนข้างมาก

การศึกษาผลของความเข้มข้นต่อพฤติกรรมการแตกตัวของ MEH-PPV Aggregates ทำโดยการเปลี่ยนแปลงความเข้มข้นจากความเข้มข้นต่ำไปสู่ความเข้มข้นสูงในตัวทำละลายโกลูอีนและไฟริดิน

## บรรณานุกรม

1. <http://www.nectec.or.th/pub/it-digest/20050316-v2no6.pdf>. Retrieved on 20 January 2006
2. <http://www.theballball.com/ball/index.php?datestamp=20030604&PHPSESSID=bb72f595fd2a86cbd3fa87a01d8d02b3>. Retrieved on 20 January 2006
3. [http://www.nectec.or.th/bid/mkt\\_info\\_tech\\_OLEDnano.htm](http://www.nectec.or.th/bid/mkt_info_tech_OLEDnano.htm). Retrieved on 24 January 2006
4. <http://www.kmitl.ac.th/sisc/UV/theory.htm>. Retrieved on 24 January 2006
5. B. J. Schwartz. *Annu. Rev. Phys. Chem.* 2003, *54*, 141
6. U. H. F. Bunz. *Chem. Rev.* 2000, *100*, 1605
7. D. T. McQuade, A. E. Pullen, T. M. Swager. *Chem. Rev.* 2000, *100*, 2537
8. A. Kraft, A. C. Grimsdale, A. B. Holmes. *Angew. Chem. Int. Ed.* 1998, *37*, 402
9. J. M. Tour. *Acc. Chem. Res.* 2000, *33*, 791
10. S.W. Thomas, S. Yagi, T.M. Swager. *J. of Mater. Chem.* 2005, *15*, 2829
11. B. G. Sumpter, P. Kumar, A. Mehta, M. D. Barnes, W. A. Shelton, R. J. Harrison. *J. Phys. Chem. B*, 2005, *109*, 7671
12. T.-Q. Nguyen, V. Doan, B. J. Schwartz. *J. Chem. Phys.* 1999, *110*, 4068
13. C. L. Gettinger, A. J. Heeger, J.M. Drake, D.J. Pine. *J. Chem. Phys.* 1994, *101*, 1673
14. T.-Q. Nguyen, I. B. Martini, J. Liu, B. J. Schwartz. *J. Phys. Chem. B* 2000, *104*, 237
15. C. J. Collison, L. J. Rothberg, V. Treemanekarn, Y. Li. *Macromolecules* 2001, *34*, 2346
16. H. Zhang, X. Lu, Y. Li, X. Ai, X. Zhang, Guoqiang, G. Yang. *J. Photochem. Photobiol. A*, 2002, *147*, 15
17. B. Valeur, Molecular Fluorescence:Principles and Applications. Wiley-VCH Verlag GmbH, 2001.
18. แม่น อมรสิทธิ์ และ อmur เพชรสุม. Principles and Techniques of Instrumental Analysis. กรุงเทพมหานคร : สำนักพิมพ์ชวนพิมพ์, 2534.
19. วิชัย รั่วตระกูล. การประยุกต์สเปกโตรสโคปในเคมีอินทรี. กรุงเทพมหานคร : สำนักงานพิมพ์, 2527.
20. D. L. Pavia. Introduction to Spectroscopy. 3rd ed : Harcourt Collage Publishers, 2001.
21. R.Traiphol, P.Sanguansat, T.Srikririn, T.Kerdcharoen, T. Osotchan. *Macromolecules*. 2006, *39*, 1165.

22. R.Traiphol, N.Charoenthai, T.Srikhirin, T.Kerdcharoen, T.Osotchan, T.Matuos. Polymer. 2007, 48, 813.
23. D. R. Lide. CRC Handbook of Chemistry and Physics. Copyright CRC Press LLC, 2002.

